

---

*ВИНИТИ*

АКАДЕМИЯ НАУК СССР  
УРАЛЬСКИЙ НАУЧНЫЙ ЦЕНТР  
ИНСТИТУТ МАТЕМАТИКИ И МЕХАНИКИ

*№5756-85 ден*

УДК 517.941.92

М.А.Зарх, В.С.Пацко

ПОЗИЦИОННОЕ УПРАВЛЕНИЕ ВТОРОГО ИГРОКА В ЛИНЕЙНОЙ  
ДИФФЕРЕНЦИАЛЬНОЙ ИГРЕ С ФИКСИРОВАННЫМ МОМЕНТОМ ОКОНЧАНИЯ

Свердловск - 1985

С О Д Е Р Ж А Н И Е

	стр.
Введение. . . . .	3
§ 1. Постановка задачи. Условия I-4 . . . . .	4
§ 2. Обработка многогранников $W_c(t_e)$ . . . . .	13
§ 3. Основной алгоритм. Формулировка оценок . . . . .	15
§ 4. Доказательство оценок. . . . .	21
§ 5. Выполнение условия 3 . . . . .	43
§ 6. Гарантия второго игрока при использовании основного алгоритма. Алгоритм с коррекцией . . . . .	56
§ 7. Управление по поверхности переключения . . . . .	60
§ 8. Примеры. . . . .	71
Литература. . . . .	84

### Введение

В работе рассматривается алгоритм построения управления обратной связи (стратегии) максимизирующего игрока в линейной антагонистической дифференциальной игре двух лиц с фиксированным моментом окончания и выпуклой функцией платы. При малых погрешностях счета управление гарантирует максимизирующему игроку результат, близкий к оптимальному.

Предполагается, что после подходящей аппроксимации мы можем при помощи ЭВМ построить в пространстве время  $X$  фазовая переменная для каждого числа  $C$  некоторую "трубку"  $W_C$ , которая либо совпадает, либо оценивает сверху множество всех позиций, где цена игры не превышает  $C$ . С трубки  $W_C$  затем снимается определенная информация, необходимая для построения управления максимизирующего игрока. Это управление гарантирует в момент окончания игры результат  $J \geq C$  для состояний, лежащих в начальный момент  $t_*$  вне внутренней части сечения  $W_C(t_*)$ . Используя сетку значений  $C_m$  параметра  $C$  и соответственно набор трубок  $W_{C_m}$ , определяем управление, гарантирующее близкий к оптимальному результат для любой начальной позиции.

Описываемый способ управления устойчив по отношению к погрешностям измерения состояния системы в текущий момент времени. Устойчивость по отношению к погрешностям построения трубок  $W_C$  также имеет место, хотя она явно в работе не анализируется.

При решении линейных дифференциальных игр с фиксированным моментом окончания часто предварительно переходят к эквивалентной задаче, где в правой части уравнений динамики отсутствует фазовая переменная. Такой переход позволяет, в част -

ности, понизить размерность задачи, если функция платы зависит не от всех, а лишь от некоторых координат фазового вектора. В настоящей работе предполагается, что система уже приведена к эквивалентному виду без фазовой переменной в правой части.

Описываемый алгоритм ориентирован прежде всего на задачи, имеющие в эквивалентной форме второй или третий порядок. Для таких задач алгоритм реализован в виде стандартной программы.

Материал работы примыкает к исследованиям [1-4].

### § 1. Постановка задачи. Условия I-4

Рассмотрим линейную антагонистическую дифференциальную игру

$$\begin{aligned} \dot{y}(t) &= B^1(t)u + C^1(t)v & (1.1) \\ y(t) &\in R^n, \quad u \in P^1, \quad v \in Q \end{aligned}$$

двух лиц с фиксированным моментом окончания  $\vartheta$  и выпуклой, липшицевой функцией платы  $f^1: R^n \rightarrow R$ . Первый игрок распоряжается параметром  $u$  и минимизирует значение  $f^1(y(\vartheta))$ . Параметр  $v$  принадлежит второму игроку, цель которого - максимизировать  $f^1(y(\vartheta))$ . Условимся, что  $f^1(x) \rightarrow \infty$  при  $|x| \rightarrow \infty$ . Управляющие параметры  $u, v$  - конечномерные векторы, принадлежащие соответственно выпуклому компакту  $P^1$  и выпуклому многограннику  $Q$ . Матрицы  $B^1(t), C^1(t)$  предполагаются кусочно-непрерывными по  $t$ . Начальный момент для игры (1.1) обозначим символом  $t_*$  и будем считать, что он выбирается из заданного промежутка  $T = [t_0, \vartheta]$ . Фазовая переменная не входит в правую часть системы (1.1). Этого всегда можно добиться известным преобразованием [1, 5].

В дальнейшем символ  $T$  используется не только для обозначения промежутка  $[t_0, \vartheta]$ , но и для обозначения его длины.

58-85

Наряду с (I.1), рассмотрим дифференциальную игру

$$\begin{aligned} \dot{y}(t) &= B^2(t)u + C^2(t)v \\ y(t) &\in R^n, u \in P^2, v \in Q, t \in T \end{aligned} \quad (I.2)$$

которую можно интерпретировать как удобную для вычислений на ЭВМ аппроксимацию игры (I.1). Функцию платы в игре (I.2) обозначим  $J^2$ . Будем считать, что она удовлетворяет таким же условиям, что и функция  $J^1$ . Дополнительно предположим, что множества уровня  $M_c^2 = \{x \in R^n : J^2(x) \leq c\}$  - выпуклые многогранники. Выпуклым многогранником будем считать и ограничение  $P^2$ . Ограничение  $Q$  - то же, что и в системе (I.1). Матрицы  $B^2(t), C^2(t)$  - кусочно-непрерывны.

Пусть  $\omega$  - разбиение промежутка  $T$  с шагом  $\varepsilon$ , а  $t_e = t_0 + e\varepsilon, e=0,1,2,\dots$ , - точки разбиения. Предположим существование такой константы  $\chi$ , что

$$\left\| \int_{t_i}^{t_j} (C^2(\tau) - C^2(t_i)) d\tau \right\| \leq \chi (t_j - t_i)^2 \quad (I.3)$$

для любых  $t_i, t_j \in \omega, t_j > t_i$ . Условие (I.3) является аналогом условия Липшица для функции  $C^2$  и выполнено, например, если функция  $C^1$  липшицева, а  $C^2$  - ее кусочно постоянная с шагом  $\varepsilon$  аппроксимация:  $C^2(t) = C^1(t_e), t \in [t_e, t_{e+1}), e=0,1,2,\dots$ . В этом случае  $\chi$  - константа Липшица функции  $C^1$ .

Введем некоторые обозначения. Пусть  $\rho(\cdot, F)$  - опорная функция выпуклого множества  $F$ . Если  $F$  - выпуклый многогранник, то через  $N(F)$  обозначим совокупность едини-

5756-85

чных внешних нормалей к граням размерности  $n-1$ . Символом  $\mathcal{U}^1$  ( $\mathcal{U}^2$ ) обозначим множество измеримых функций  $u(\cdot) : T \rightarrow P^1$  ( $T \rightarrow P^2$ ). Положим

$$S = \{l \in R^n : |l|=1\}, \quad Q^2(l, t) = \arg \max_{q \in Q} l' C^2(t) q$$

Зафиксируем промежуток  $[c_*, c^*]$ , где  $c^* > c_* \geq \min_{x \in R^n} f^2(x)$ . Будем считать, что при помощи ЭВМ для любого  $c \in [c_*, c^*]$  мы можем построить последовательность выпуклых многогранников  $W_c(t_e)$ , удовлетворяющую четырем условиям, которые будут сформулированы ниже. Основным из них является условие 3. На основе информации, снятой с многогранников  $W_c(t_e)$ , будет построена стратегия второго игрока в игре (I.I), гарантирующая ему близкий к оптимальному результату.

Перечислим требования на многогранники  $W_c(t_e)$ .

Условие 1.  $W_c(\vartheta) = M_c^2$ .

Условие 2. Существуют такие положительные числа  $z$  и  $R$ , что в каждое множество  $W_c(t_e)$  можно вписать шар радиуса  $z$  и каждый из многогранников  $W_c(t_e)$  может быть помещен в некоторый шар радиуса  $R$ . Центр шара может зависеть от  $c$  и  $t_e$ .

Условие 3. Существует такая константа  $\sigma > 0$ , что

$$f(l, W_c(t_i)) + \min_{u(\cdot) \in \mathcal{U}^2} l' \int_{t_i}^{t_j} (B^2(\tau) u(\tau) + C^2(\tau) q) d\tau \geq f(l, W_c(t_j)) - \sigma (t_j - t_i)^2 \quad (I.4)$$

для всех моментов  $t_i, t_j \in \omega, t_j > t_i$ , любых  $l \in N(W_c(t_i))$  и  $q \in Q^2(l, t_i)$ .

5756.85

Поскольку  $W_c(t_e)$  - многогранник, то его опорная функция  $\rho(\cdot, W_c(t_e))$  кусочно-линейна. Именно, каждой вершине  $w$  многогранника  $W_c(t_e)$  соответствует выпуклый конус, порожденный внешними нормальными к граням размерности  $n-1$ , содержащим  $w$  (см. рис. I а, где  $n=3$ ). В этом конусе функция  $\rho(\cdot, W_c(t_e))$  линейна. Число образующих конуса линейности (совпадающее с числом граней размерности  $n-1$ , содержащих  $w$ ) не меньше размерности пространства  $R^n$ . В дальнейшем условимся, что любой конус линейности функции  $\rho(\cdot, W_c(t_e))$  разбит на конусы с  $n$  образующими, причем любая из них является образующей рассматриваемого конуса линейности (рис. I в). Таким образом, употребляя выражение "конус линейности функции  $\rho(\cdot, W_c(t_e))$ " будем подразумевать, что он имеет ровно  $n$  образующих.

Условие 4. Существует такая константа  $\beta > 0$ , что для любого конуса линейности  $K = \text{con}\{l_1, l_2, \dots, l_n\}$  опорной функции  $\rho(\cdot, W_c(t_e))$  выполнено неравенство

$$\frac{|l_s - l_k| |D_{sm}|}{|D|} \leq \beta; \quad s, k, m = \overline{1, n}$$

Здесь  $D$  - определитель матрицы

$$\begin{pmatrix} l_{11}, l_{12}, \dots, l_{1n} \\ l_{21}, l_{22}, \dots, l_{2n} \\ \vdots \\ l_{n1}, l_{n2}, \dots, l_{nn} \end{pmatrix}$$

составленной из координат векторов  $l_1, l_2, \dots, l_n$ , а  $D_{sm}$  - алгебраическое дополнение ее элемента с номерами  $s, m$ .

5756-85



Поясним условия I-4. Условие I - это просто краевое условие. Условие 2 означает, что все множества  $W_c(t_e)$  не вырождены и, кроме того, их вытянутость ограничена. Пусть  $g_c^*(t_e)$  - центр наибольшего вписанного в  $W_c(t_e)$  шара, а  $\bar{g}_c(t_e)$  - наименьшего описанного. Условие 2 эквивалентно соотношению

$$l'g_c^*(t_e) + r \leq \rho(l, W_c(t_e)) \leq l'\bar{g}_c(t_e) + R, \quad l \in S \quad (1.5)$$

При этом  $|g_c^*(t_e) - \bar{g}_c(t_e)| \leq R$ .

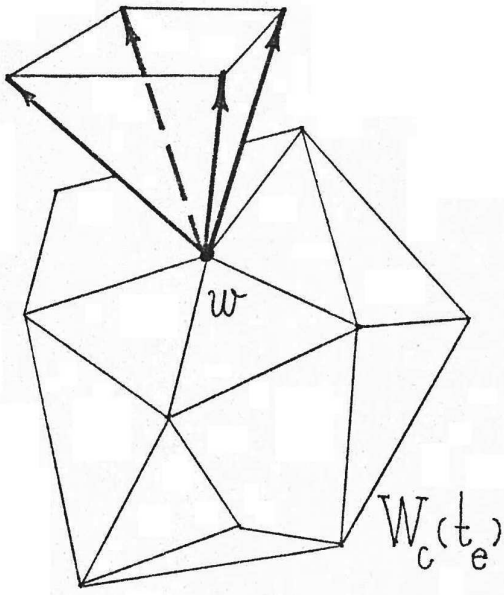
Условие 3 имеет следующий геометрический смысл. Пусть точка  $\bar{x}$  принадлежит опорной гиперплоскости  $l'x = \rho(l, W_c(t_i))$  к  $W_c(t_i)$ , где  $l$  - единичная нормаль многогранника  $W_c(t_i)$  (рис.2), и пусть второй игрок держит на  $[t_i, t_j]$  постоянное управление  $v(t) \equiv q \in Q^2(l, t_i)$ , экстремальное в момент  $t_i$  по вектору  $l$ . Тогда (в этом и состоит смысл условия 3) при любом управлении первого игрока движение системы (I.2) в момент  $t_j$  будет принадлежать полупространству  $l'x \geq \rho(l, W_c(t_j)) - \sigma(t_j - t_i)^2$ . На рис. 2 символом  $\bar{G}$  обозначена совокупность всех возможных состояний в момент  $t_j$  при  $v(t) \equiv q$ .

Укажем случай, когда условие 3 выполнено. Предположим, что  $B^1, C^1$  - липшицевы функции, а  $B^2, C^2$  - кусочно-постоянные с шагом  $\varepsilon$ , непрерывные справа их аппроксимации, т.е.

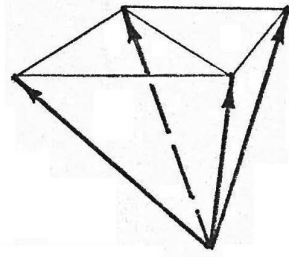
$$B^2(t) = B^1(t_e), \quad C^2(t) = C^1(t_e), \quad t \in [t_e, t_{e+1}), \quad e = 0, 1, 2, \dots$$

Определим рекуррентный способ построения последовательности  $W_c(t_e)$ . Примем  $W_c(t_0) = M_c^2$ . Пусть найдены множества  $W_c(t_0), \dots, W_c(t_{e+2}), W_c(t_{e+1})$ . Положим

5756.85



a



b

Рис. 1 (n=3)

5756-85

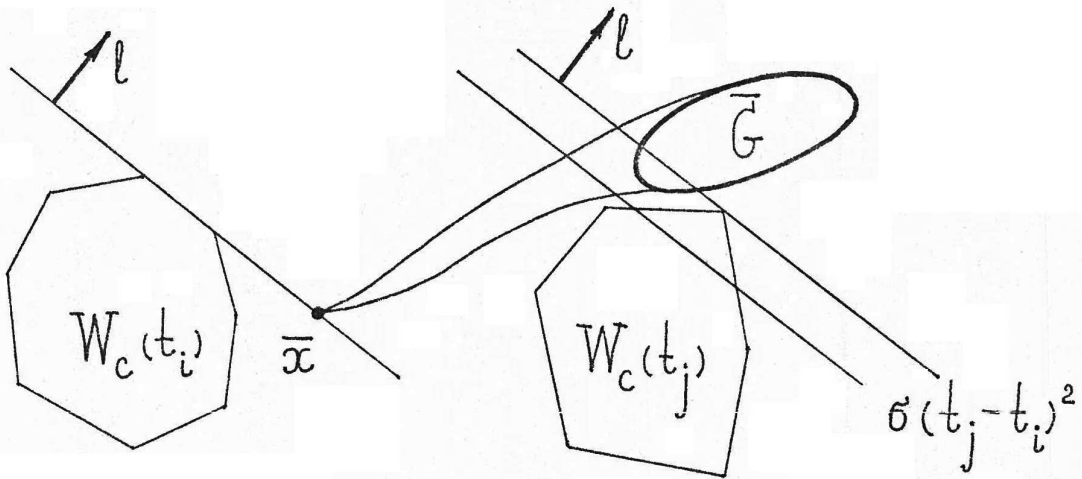


Рис. 2 (n=2)

$$\eta_c(l, t_e) = \rho(l, W_c(t_{e+1})) + \alpha \rho(l, -B^2(t_e)P^2) - \alpha \rho(l, C^2(t_e)Q), \quad l \in R^n \quad (I.6)$$

Введем множество  $L_c(t_e)$  - произвольный конечный набор единичных векторов, удовлетворяющий условию

$$N(W_c(t_{e+1})) \subset L_c(t_e), \quad t_e \neq \vartheta$$

Многогранник  $W_c(t_e)$  зададим по формуле

$$W_c(t_e) = \{x \in R^n : l'x \leq \eta_c(l, t_e), \quad l \in L_c(t_e)\} \quad (I.7)$$

Очевидно, что если  $l \in N(W_c(t_e))$ , то  $\eta_c(l, t_e) = \rho(l, W_c(t_e))$ . В силу определения функций  $B^2, C^2$  равенство (I.6) можно переписать тогда в виде

$$\rho(l, W_c(t_e)) + \min_{u(\cdot) \in U^2} l' \int_{t_e}^{t_{e+1}} (B^2(\tau)u(\tau) + C^2(\tau)q) d\tau = \rho(l, W_c(t_{e+1}))$$

Здесь  $q \in Q(l, t_e)$ . Таким образом, условие 3 выполнено для  $j = i+1$ . Доказательство его выполнения при  $j > i+1$ , а также примеры задания наборов  $L_c(t_e)$  будут даны в § 5.

Покажем, что в двумерном случае (т.е. при  $n=2$ ) условие 4 следует из условия 2. Действительно, пусть  $K = \text{con} \{l_1, l_2\}$  - некоторый конус линейности опорной функции какого-либо из многогранников  $W_c(t_e)$ . Символом  $\varphi$  обозначим угол между единичными векторами  $l_1, l_2$ . Имеем

5756.85

$$|l_1 - l_2| = 2 \sin \frac{\varphi}{2}, \quad |D_{sm}| \leq 1, \quad |D| = \sin \varphi$$

Поэтому

$$\frac{|l_1 - l_2| |D_{sm}|}{|D|} \leq \frac{2 \sin \frac{\varphi}{2}}{\sin \varphi} = \frac{1}{\cos \frac{\varphi}{2}}$$

Пусть  $w$  - вершина многоугольника  $W_c(t_e)$ , соответствующая конусу линейности  $\text{con}\{l_1, l_2\}$  (рис.3). Для угла  $\pi - \varphi$  при вершине  $w$  в силу условия 2 выполнено неравенство

$$\sin\left(\frac{\pi - \varphi}{2}\right) \geq \frac{r}{|g_c^*(t_e) - w|} \geq \frac{r}{2R}$$

Но  $\cos \frac{\varphi}{2} = \sin\left(\frac{\pi - \varphi}{2}\right)$  и, стало быть, в качестве константы  $\beta$  в записи условия 4 можно взять величину  $2R/r$ .

Дадим геометрическую интерпретацию условия 4 для  $n=3$ . Пусть  $K = \text{con}\{l_1, l_2, l_3\}$  - конус линейности. Величина  $|D|$  есть объем параллелепипеда, натянутого на векторы  $l_1, l_2, l_3$ . Зафиксируем  $s=1$ . Тогда  $D_{11}, D_{12}, D_{13}$  - координаты векторного произведения  $[l_2, l_3]$ , и ограниченность отношений  $|l_1 - l_k| |D_{1m}| / |D|$ ;  $k, m = \overline{1,3}$ , эквивалентна ограниченности отношений  $|l_1 - l_k| |[l_2, l_3]| / |D|$ ,  $k = \overline{1,3}$ . Поскольку величина  $|[l_2, l_3]|$  равна площади параллелограмма, натянутого на векторы  $l_2, l_3$ , то  $|D| = |[l_2, l_3]| h_1$ , где  $h_1$  - высота параллелепипеда, опущенная из конца вектора  $l_1$  на плоскость векторов  $l_2, l_3$  (рис.4). Таким образом, ограниченность  $|l_1 - l_k| |D_{1m}| / |D|$ ;  $k, m = \overline{1,3}$ , означает ограниченность отношений  $|l_1 - l_k| / h_1$ ,  $k = 2, 3$ . Анало -

58-9515

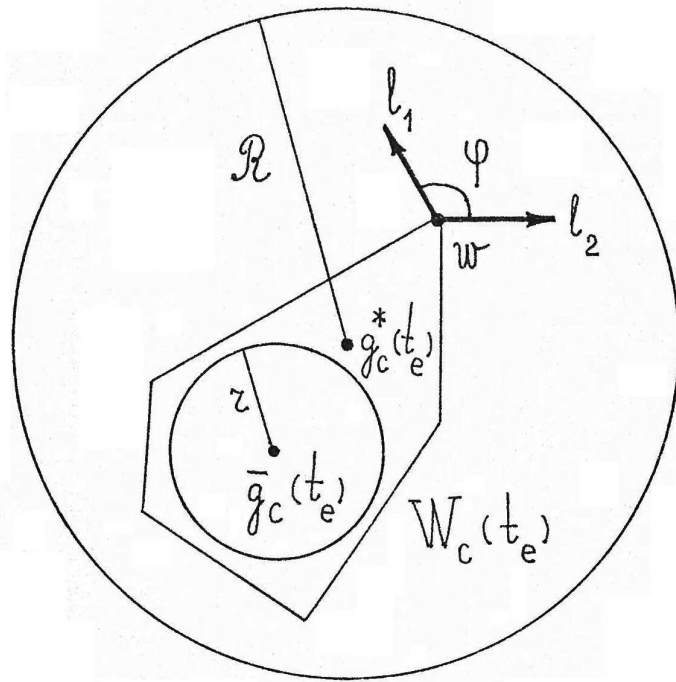


Рис. 3 ( $n=2$ )

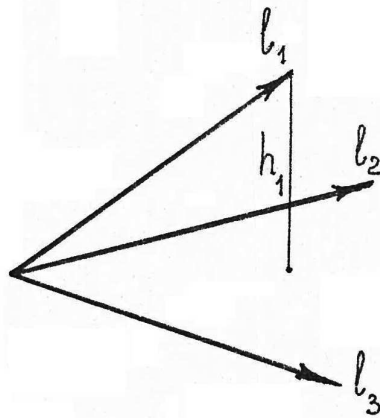


Рис. 4 ( $n=3$ )

5756-85

гичное справедливо и для  $\beta = 2, 3$ . Итак, условие 4 ограничивает вытянутость конусов линейности.

§ 2. Обработка многогранников  $W_c(t_e)$

Опишем информацию, снимаемую с многогранников  $W_c(t_e)$  и используемую для формирования стратегии второго игрока.

Символом  $A_c(t_e)$  обозначим объединение всех конусов линейности  $K = \text{con}\{l_1, l_2, \dots, l_n\}$  функции  $\rho(\cdot, W_c(t_e))$ , для каждого из которых  $\bigcap_{s=1}^n Q^2(l_s, t_e) = \emptyset$ . Конусы линейности, входящие в  $A_c(t_e)$ , для краткости будем называть "плохими", остальные конусы линейности функции  $\rho(\cdot, W_c(t_e))$  - "хорошими".

Из всей информации о многограннике  $W_c(t_e)$  мы оставляем для формирования стратегии второго игрока только информацию о плохих конусах и значениях опорной функции  $\rho(\cdot, W_c(t_e))$  на образующих этих конусов, или, что то же самое, - описание плохих конусов и соответствующих им вершин многогранника  $W_c(t_e)$ .

На рис.5 для плоского случая изображены многоугольник  $W_c(t_e)$  и плохие конусы. Плохими являются те конусы линейности функции  $\rho(\cdot, W_c(t_e))$ , во внутренность которых попадают нормали многоугольника  $C^2(t_e)Q$ . На рис.5  $C^2(t_e)Q$  - треугольник.

Если  $n = 3$  и  $Q$  - отрезок, то плохими являются те из конусов линейности, внутренность которых пересекается плоскостью, ортогональной отрезку  $C^2(t_e)Q$  и проходящей через начало координат. На рис.6 схематично изображена часть конусов линейности опорной функции многогранника  $W_c(t_e)$ . Плоскость, ортогональная отрезку  $C^2(t_e)Q$ , показана в виде

5756-85

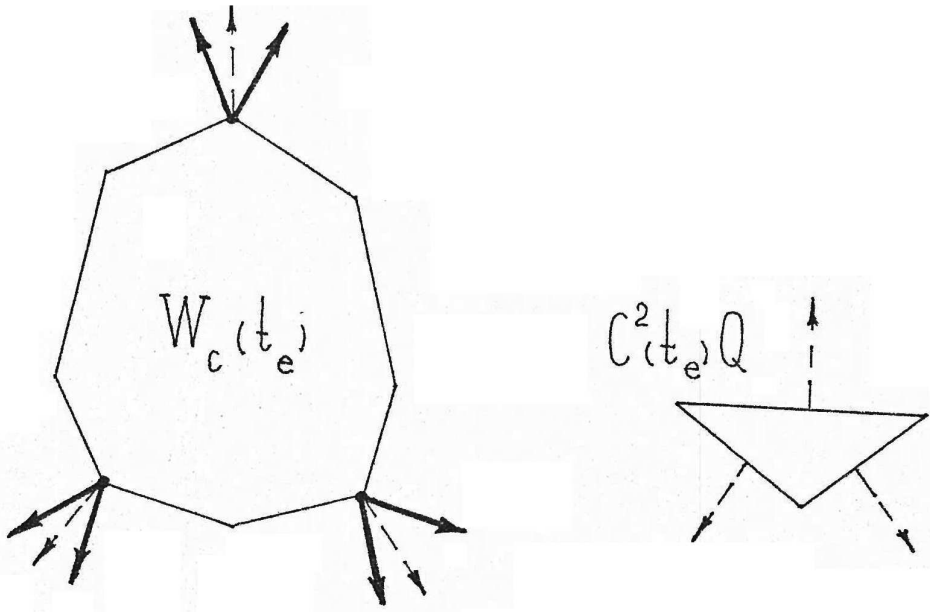


Рис. 5 ( $n=2$ )

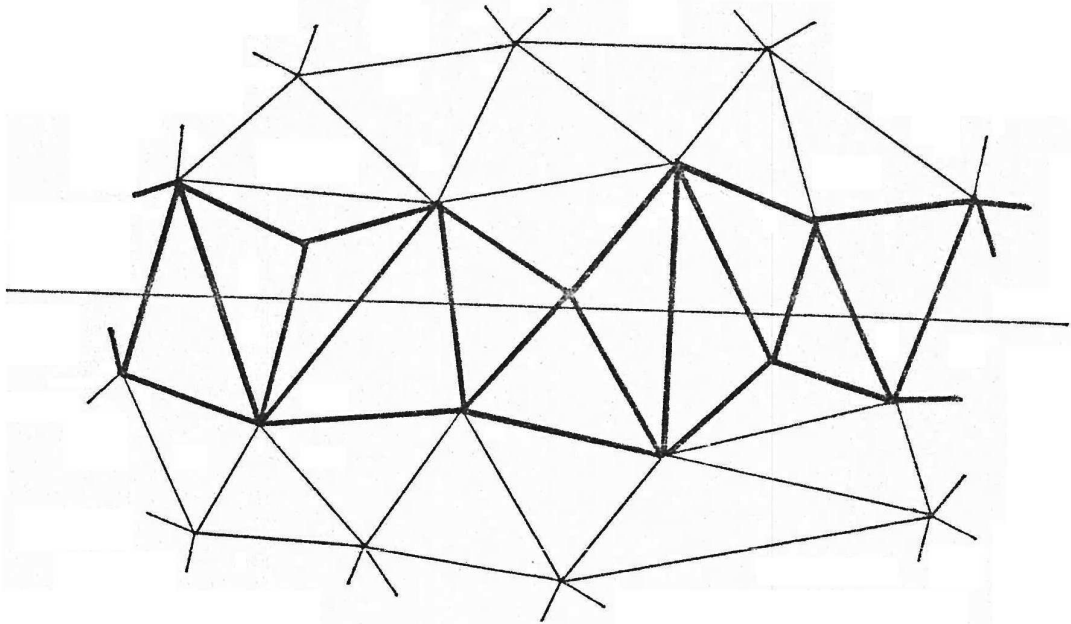


Рис. 6 ( $n=3$ )

58-9515

прямой. Жирным выделены плохие конусы линейности.

В общем случае конус линейности функции  $\rho(\cdot, W_c(t_e))$  относим к плохим, если его внутренность пересекается с границей хотя бы одного из конусов линейности опорной функции многогранника  $C^2(t_e)Q$ . Многогранник  $C^2(t_e)Q$  при этом может быть вырожденным.

Для формирования стратегии второго игрока зафиксируем конечный набор  $\mathcal{C} = \{c_m\}$  значений параметра  $c \in [c_*, c^*]$  и для каждого  $t_e$  снимем с  $W_{c_m}(t_e)$ ,  $m=1, 2, \dots$ , плохие конусы и соответствующие им вершины. На рис.7 поясняется случай, когда  $n=2$  и  $C^2(t_e)Q$  - отрезок.

Алгоритм, использующий всю указанную информацию, назовем алгоритмом с коррекцией. Он будет описан в § 6. Основой его служит алгоритм управления, использующий информацию, снятую с многогранников  $W_c(t_e)$  при фиксированном значении параметра  $c$ . Этот алгоритм назовем основным.

§ 3. Основной алгоритм. Формулировка оценок

В параграфах 3-5 параметр  $c$  будем считать зафиксированным. Поэтому условимся опускать в обозначениях индекс  $c$ . Например, вместо  $W_c(t_e)$  будем писать  $W(t_e)$ . Положим

$$d(t, l, x) = \rho(l, W(t)) - l'x$$

$$\varepsilon(t_i, t_j) =$$

$$= \int_{t_i}^{t_j} \max_{|l| \leq 1} [\max_{p \in -P^1} l' B^1(r) p - \max_{p \in -P^2} l' B^2(r) p + \max_{q \in Q} l'(C^2(r) - C^1(r)) q] dr$$

58-9575



5756-85

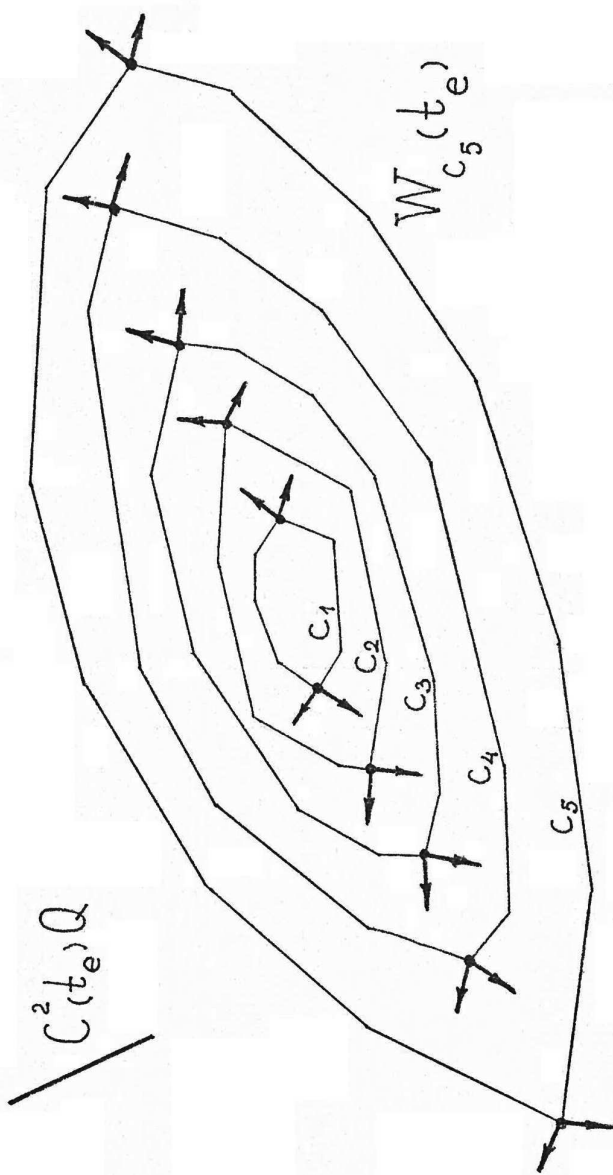


Рис. 7 (n=2)

Величина  $d$  - это расстояние от точки  $x$  до отвечающей вектору  $l$  опорной гиперплоскости к множеству  $W(t)$ . Расстояние  $d$  имеет знак плюс, если  $x$  принадлежит тому же полупространству, что и  $W(t)$ , и знак минус, если  $x$  и  $W(t)$  разделяются указанной гиперплоскостью. Величина  $\varepsilon(t_i, t_j)$  характеризует разность динамик систем (I.1), (I.2) на промежутке  $[t_i, t_j]$ .

Опишем алгоритм управления второго игрока, обеспечивающий удержание фазового вектора  $y^1(t_e)$  системы (I.1) при любом  $t_e$  вблизи дополнения к множеству  $\text{int } W(t_e)$ , т.е. вблизи  $R^n \setminus \text{int } W(t_e)$ . Условимся считать начальный момент  $t_*$  совпадающим с одним из моментов  $t_e$ , шаг  $\Delta$  дискретной схемы управления второго игрока будем полагать постоянным и кратным  $\varepsilon$ . Положим  $\tau_0 = t_*$ ,  $\tau_k = \tau_{k-1} + \Delta$ ,  $k=1, 2, \dots$ . В каждый момент  $\tau_k$  управление второго игрока будет выбираться как экстремальное на некотором векторе. В начальный момент  $t_*$  следует задать начальный вектор  $l_*$ . Естественные варианты выбора вектора  $l_*$  будут описаны в конце этого параграфа, а также в § 6.

Алгоритм управления при фиксированном  $C$  опишем в двух вариантах: а) когда фазовый вектор  $y^1(\tau_k)$  известен точно, в) когда в схему управления вместо точного фазового вектора  $y^1(\tau_k)$  подается замер  $z^1(\tau_k)$ .

Рассмотрим алгоритм а). Пусть дана начальная позиция  $(t_*, y^1(t_*))$  и некоторый начальный вектор  $l_*$ . Формирование управления на каждом шаге дискретной схемы однотипно. Опишем общий шаг. В момент  $\tau_k$  имеем фазовый вектор  $y^1(\tau_k)$  и вектор  $l(\tau_k)$ , передаваемый с предыдущего шага (выбранный в момент  $\tau_{k-1}$ ). Формально считаем

58-2575

$$l(t) = l(\tau_k), \quad t \in (\tau_{k-1}, \tau_k], \quad k=1, 2, \dots, \quad l(\tau_0) = l_*$$

Если  $l(\tau_k) \notin \Lambda(\tau_k)$ , то вектор  $l(\tau_k)$  не меняем, положив  $l(\tau_{k+1}) = l(\tau_k)$ . Если  $l(\tau_k) \in \Lambda(\tau_k)$ , т.е. обнаружен плохой конус  $K = \text{con}\{l_1, l_2, \dots, l_n\}$ , содержащий вектор  $l(\tau_k)$ , то в качестве  $l(\tau_{k+1})$  выберем ту из образующих  $l_1, l_2, \dots, l_n$  конуса  $K$ , на которой реализуется минимум расстояний  $d(\tau_k, l_s, y^1(\tau_k))$ ,  $s = \overline{1, n}$ , т.е.

$$l(\tau_k, l(\tau_{k+1}), y^1(\tau_k)) = \min_{1 \leq s \leq n} d(\tau_k, l_s, y^1(\tau_k))$$

В качестве управляющего воздействия второго игрока на промежутке  $[\tau_k, \tau_{k+1})$  возьмем любой вектор из совокупности экстремальных векторов  $Q^2(l(\tau_{k+1}), \tau_k)$ .

Пусть на промежутке  $[t_*, \vartheta]$  управление второго игрока вырабатывалось по алгоритму а). Тогда при любом  $t_i \geq t_*$  справедлива оценка

$$d(t_i, l(t_i), y^1(t_i)) \leq \max\{0, d(t_*, l_*, y^1(t_*))\} + 2 \frac{\mathcal{R}}{\varepsilon} \delta(t_i - t_*) \Delta + \varepsilon(t_*, t_i) \quad (3.1)$$

Предположим теперь, что состояние  $y^1(\tau_k)$  замеряется неточно и в каждый момент  $\tau_k$  в схему формирования управления вместо  $y^1(\tau_k)$  подается замер  $z^1(\tau_k)$ . Пусть  $\mathcal{L}$  - оценка точности, т.е.  $|y^1(\tau_k) - z^1(\tau_k)| \leq \mathcal{L}$  при любом  $k$ . Алгоритм в) будет отличаться от алгоритма а) лишь несколько иным выбором вектора  $l(\tau_{k+1})$ .

Опишем алгоритм в). Зафиксируем число  $\mu$ ,  $0 < \mu < 1$ .

5756-85

Выбор параметра  $\mu$  пока не будем связывать с числом  $\alpha$ . В момент  $t_*$  имеем замер  $z^1(t_*)$  и начальный вектор  $l_*$ . Рассмотрим общий шаг. В момент  $\tau_k$  имеем замер  $z^1(\tau_k)$  и вектор  $l(\tau_k)$ , передаваемый с предыдущего шага. Если  $l(\tau_k) \notin \Lambda(\tau_k)$ , полагаем  $l(\tau_{k+1}) = l(\tau_k)$ . Пусть  $l(\tau_k) \in \Lambda(\tau_k)$ , т.е. обнаружен плохой конус  $K = \text{con}\{l_1, l_2, \dots, l_n\}$ , содержащий вектор  $l(\tau_k)$ . При одновременном выполнении неравенств

$$l'(\tau_k)l_s \leq 1 - \mu, \quad s = \overline{1, n},$$

в качестве вектора  $l(\tau_{k+1})$  выберем ту из образующих  $l_1, l_2, \dots, l_n$  конуса  $K$ , на которой реализуется минимум расстояний  $d(\tau_k, l_s, z^1(\tau_k))$ ,  $s = \overline{1, n}$ . В случае:  $l'(\tau_k)l_s > 1 - \mu$  хотя бы для одного  $s = \overline{1, n}$ , примем  $l(\tau_{k+1}) = l(\tau_k)$ . В качестве управляющего воздействия второго игрока на промежутке  $[\tau_k, \tau_{k+1})$  возьмем любой вектор из  $Q^2(l(\tau_{k+1}), \tau_k)$ .

Пусть на промежутке  $[t_*, \vartheta]$  управление второго игрока вырабатывалось по алгоритму в). Тогда при любом  $t_i \geq t_*$  справедлива оценка

$$d(t_i, l(t_i), y^1(t_i)) \leq \max\left\{\frac{2d}{\mu} + 2d, d(t_*, l_*, y^1(t_*))\right\} + \sigma_1(t_i - t_*)\Delta + \sigma_2(t_i - t_*)\sqrt{\mu} + \varepsilon(t_*, t_i). \quad (3.2)$$

Поскольку  $d(t_*, l_*, y^1(t_*)) \leq d(t_*, l_*, z^1(t_*)) + d$ , то правую часть оценки (3.2) можно записать через  $z^1(t_*)$ , а именно,

58-2545

$$d(t_i, l(t_i), y^1(t_i)) \leq \max \left\{ \frac{2\Delta}{\mu}, d(t_*, l_*, z^1(t_*)) \right\} + 2\Delta + \sigma_1(t_i - t_*)\Delta + \sigma_2(t_i - t_*)\sqrt{\mu} + \varepsilon(t_*, t_i) \quad (3.3)$$

Доказательство оценок (3.1), (3.2) приводится в § 4.

Замечание 3.1. Оценки (3.1), (3.2), (3.3) зависят от выбора начального вектора  $l_*$ . Пусть, например, начальная точка  $y^1(t_*)$  принадлежит границе многогранника  $W(t_*)$ . Если в качестве  $l_*$  возьмем внешнюю нормаль к  $W(t_*)$  в точке  $y^1(t_*)$ , начальное расстояние  $d(t_*, l_*, y^1(t_*))$  будет равно нулю. При произвольном выборе начального вектора в правой части оценок (3.1), (3.2) будет стоять положительная величина  $d(t_*, l_*, y^1(t_*))$ . Когда вместо  $y^1(t_*)$  известен лишь замер  $z^1(t_*)$ , то, как видно из (3.3), в качестве  $l_*$  целесообразно брать вектор, минимизирующий расстояние от  $z^1(t_*)$  до границы  $W(t_*)$ .

Замечание 3.2. Пусть  $\tau_k$  - произвольный момент, при котором вектор  $l(\tau_k)$  заменяется на новый, отличный от него вектор  $l(\tau_{k+1})$ . Зная вектор  $l(\tau_{k+1})$ , мы в момент  $\tau_k$  можем просчитать следующий момент  $\tau_m$ ,  $m > k$ , когда уже вектор  $l(\tau_m) = l(\tau_{k+1})$  попадет в плохой конус и будет заменен на новый вектор. Следовательно, в момент  $\tau_k$  мы можем сформировать кусочно-постоянное программное управление второго игрока на весь промежуток  $[\tau_k, \tau_m]$ . В момент  $\tau_m$ , используя состояние  $y^1(\tau_m)$  (замер  $z^1(\tau_m)$ ), выбираем новый вектор  $l(\tau_{m+1})$ , определяем промежуток  $[\tau_m, \tau_j]$ ,  $j > m$ , на котором он не будет меняться, формируем программное управление на промежуток  $[\tau_m, \tau_j]$  и т.д. Таким образом, управле-

58-9545

ние второго игрока, определяемое алгоритмами а), в), может быть реализовано, как кусочно-программное.

Замечание 3.3. Может оказаться, что для всех моментов  $\tau_k$  множество  $\Lambda(\tau_k)$ , составленное из плохих конусов, пусто. Так будет, например, когда сечения  $W(t_e)$  строятся по формулам (I.6), (I.7), причем  $L(t_e) = N(W(t_{e+1}) - \alpha B^2(t_e)P^2)$ , и выполнено свойство однотипности [I, 6]:  $B^2 = C^2$ ,  $P^2 = -\lambda Q$ ,  $\lambda > 1$ . В этом случае управление второго игрока, определяемое алгоритмами а), в), можно задать как функцию времени (программу) на весь промежуток  $[t_*, \vartheta]$  сразу же в начальный момент  $t_*$  соотношением

$$v(t) \in Q^2(l_*, \tau_k), \quad t \in [\tau_k, \tau_{k+1}), \quad k=0, 1, 2, \dots$$

#### § 4. Доказательство оценок

В основе доказательства оценок (3.1), (3.2) лежит оценка изменения величины  $d$  на одном шаге  $[\tau_k, \tau_{k+1})$  дискретной схемы управления второго игрока по алгоритмам а), в).

Существо дела состоит в следующем. Расстояние  $d(\tau_k, l(\tau_k), y'(\tau_k))$ , которое мы имеем на момент  $\tau_k$  после  $k$ -ого шага, при замене в момент  $\tau_k$  вектора  $l(\tau_k)$  на вектор  $l(\tau_{k+1})$  переходит в расстояние  $d(\tau_k, l(\tau_k), y'(\tau_k))$ . Управление второго игрока на промежутке  $[\tau_k, \tau_{k+1})$  постоянно и выбирается из условия экстремума на векторе  $l(\tau_{k+1})$ . При движении системы (I.I) из позиции  $(\tau_k, y'(\tau_k))$  получим в момент  $\tau_{k+1}$  расстояние  $d(\tau_{k+1}, l(\tau_{k+1}), y'(\tau_{k+1}))$ . Таким образом, просчет  $d(\tau_{k+1}, l(\tau_{k+1}), y'(\tau_{k+1}))$  по  $d(\tau_k, l(\tau_k), y'(\tau_k))$  состоит из двух этапов: оценка расстояния  $d(\tau_k, l(\tau_{k+1}), y'(\tau_k))$  по  $d(\tau_k, l(\tau_k),$

5756-85

$y^1(x_k)$  и оценка  $d(x_{k+1}, l(x_{k+1}), y^1(x_{k+1}))$  по  $d(x_k, l(x_{k+1}), y^1(x_k))$ .

Для оценки величины  $d(x_k, l(x_{k+1}), y^1(x_k))$  через  $d(x_k, l(x_k), y^1(x_k))$  будет использована лемма 4.2.

Из нее, в частности, следует, что если вектор  $l(x_k)$  попадает в некоторый плохой конус линейности  $K = \text{con}\{l_1, l_2, \dots, l_n\}$  и точка  $y^1(x_k)$  принадлежит опорному полупространству  $l^1(x_k)x \leq \rho(l(x_k), W(x_k))$ , то хотя бы для одного вектора  $l_s$  из совокупности  $l_1, l_2, \dots, l_n$  расстояние  $d(x_k, l_s, y^1(x_k))$  не больше расстояния  $d(x_k, l(x_k), y^1(x_k))$  (см. рис.8, где  $n=2$ ). Если, кроме того, вектор  $l(x_k)$  далек от образующих  $l_1, l_2, \dots, l_n$  в том смысле, что

$$l^1(x_k)l_s \leq 1 - \mu, \quad s = \overline{1, n},$$

то минимальное из расстояний  $d(x_k, l_s, y^1(x_k))$ ,  $s = \overline{1, n}$ , меньше  $d(x_k, l(x_k), y^1(x_k))$  по крайней мере на величину  $d(x_k, l(x_k), y^1(x_k))\mu$ . При анализе алгоритма а) нужно в лемме 4.2 взять  $\mu^* = 0$ .

Лемма 4.1 переносит свойство "отталкивания", оговоренное условием 3 для нормалей многогранника  $W(t_i)$ , на векторы  $l \notin \Lambda(t_i)$ , т.е. на векторы из хороших конусов линейности функции  $\rho(\cdot, W(t_i))$ . Лемма 4.3 дает оценку отталкивания по вектору  $l$ , когда он попадает в  $\Lambda(t_i)$ , но близок к одной из образующих конуса линейности, которому он принадлежит. Леммы 4.1, 4.3 используются для оценки величины  $d(x_{k+1}, l(x_{k+1}), y^1(x_{k+1}))$  через  $d(x_k, l(x_{k+1}), y^1(x_k))$ . При анализе алгоритма а) лемма 4.3 не нужна.

Отметим, что при анализе алгоритма в) мы оцениваем, как

5756-85

5756-85

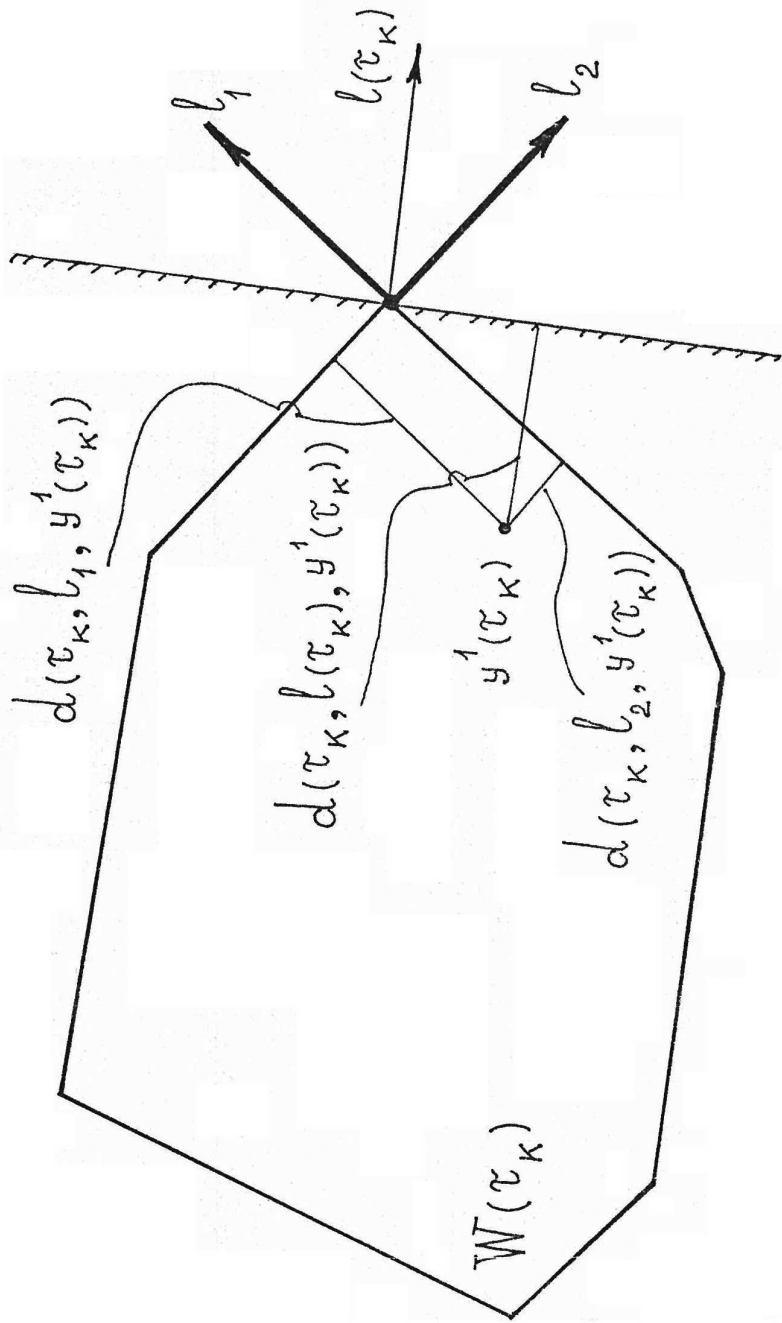


Рис. 8 (n=2)



и в случае алгоритма а), расстояние  $d$ , определяемое истинным (но не известным нам) состоянием  $y^1(t)$  системы (I.1), в то время, как управление второго игрока согласно алгоритму в) формируется по замеру  $z^1(t)$ .

Пусть  $y^2(t; t_i, x, u(\cdot), v(\cdot))$  - положение фазового вектора системы (I.2) в момент  $t$  при движении из позиции  $(t_i, x)$  под действием программных управлений  $u(\cdot)$ ,  $v(\cdot)$ . Символом  $G_q(t_i, t_j)$  обозначим совокупность всех состояний  $x$  в момент  $t_i$ , для каждого из которых в системе (I.2) при  $v(t) \equiv q \in Q$  существует программное управление  $u(\cdot)$  первого игрока, такое, что  $y^2(t_j; t_i, x, u(\cdot), q) \in W(t_j)$ , т.е. управление, переводящее систему (I.2) в момент  $t_j$  на  $W(t_j)$ . Опорная функция множества  $G_q(t_i, t_j)$  описывается соотношением

$$\begin{aligned} \rho(l, G_q(t_i, t_j)) &= \\ &= \rho(l, W(t_j)) + \max_{u(\cdot) \in \mathcal{U}^2} [-l \int_{t_i}^{t_j} (B^2(\tau)u(\tau) + C^2(\tau)q) d\tau] = \\ &= \rho(l, W(t_j)) - \min_{u(\cdot) \in \mathcal{U}^2} l \int_{t_i}^{t_j} (B^2(\tau)u(\tau) + C^2(\tau)q) d\tau \end{aligned}$$

Из этого соотношения и определения расстояния  $d$  вытекает эквивалентность следующих неравенств

$$\begin{aligned} \rho(l, W(t_i)) + \min_{u(\cdot) \in \mathcal{U}^2} l \int_{t_i}^{t_j} (B^2(\tau)u(\tau) + C^2(\tau)q) d\tau &\geq \\ &\geq \rho(l, W(t_j)) - a \end{aligned} \tag{4.1}$$

58-9515

$$\rho(l, W(t_i)) \geq \rho(l, G_q(t_i, t_j)) - \alpha, \quad (4.2)$$

$$\max_{u(\cdot) \in \mathcal{U}^2} d(t_j, l, y^2(t_j; t_i, x, u(\cdot), q)) \leq d(t_i, l, x) + \alpha, \quad x \in R^n \quad (4.3)$$

Здесь  $\alpha$  - произвольное число,  $q$  - любой элемент из  $Q$ . Эквивалентность неравенств (4.1)-(4.3) будет использована в доказательствах этого и следующего параграфов. Нам понадобится также следующее

Утверждение 4.1. Пусть векторы  $l_1, l_2, \dots, l_m$ ,  $m \leq n$ , принадлежат единичной сфере  $S$  в  $R^n$  и линейно-независимы. Пусть далее  $g^*, \bar{g} \in R^n$ ;  $a_s \in R, s = \overline{1, m}$ ;  $b > 0, \bar{\mathcal{R}} \geq \tau^* > 0$

$$\Pi = \{x \in R^n : l'_s x \leq a_s, s = \overline{1, m}\},$$

$$\Gamma = \{x \in R^n : l'_s x \leq a_s + b, s = \overline{1, m}\},$$

$$E = \text{con}\{l_1, l_2, \dots, l_m\}$$

Тогда, если

$$l'g^* + \tau^* \leq \rho(l, \Pi) \leq l'\bar{g} + \bar{\mathcal{R}}, \quad l \in E \cap S, \quad (4.4)$$

$$|g^* - \bar{g}| \leq \bar{\mathcal{R}}$$

то

$$\rho(l, \Gamma) \leq \rho(l, \Pi) + 2 \frac{\bar{\mathcal{R}}}{\tau^*} b, \quad l \in E \cap S$$

Доказательство. Поскольку векторы  $l_1, l_2, \dots, l_m$  линейно-независимы, то функции  $\rho(\cdot, \Pi), \rho(\cdot, \Gamma)$  линейны на  $E$ .

58-9575

Пусть  $l$  - произвольный вектор из  $ENS$ . Представим его в виде  $l = \sum_{s=1}^m \lambda_s l_s, \lambda_s \geq 0$ . Учитывая (4.4), имеем

$$\begin{aligned} l'g^* + z^* \sum_{s=1}^m \lambda_s &= \sum_{s=1}^m \lambda_s (l'_s g^* + z^*) \leq \sum_{s=1}^m \lambda_s \rho(l_s, \Pi) = \\ &= \rho(l, \Pi) \leq l' \bar{g} + \bar{\mathcal{R}} \end{aligned}$$

Поэтому

$$\sum_{s=1}^m \lambda_s \leq [l'(\bar{g} - g^*) + \bar{\mathcal{R}}] / z^* \leq 2 \bar{\mathcal{R}} / z^*$$

Следовательно,

$$\begin{aligned} \rho(l, \Gamma) &= \sum_{s=1}^m \lambda_s \rho(l_s, \Gamma) = \sum_{s=1}^m \lambda_s (\rho(l_s, \Pi) + b) = \\ &= \rho(l, \Pi) + b \sum_{s=1}^m \lambda_s \leq \rho(l, \Pi) + 2 \frac{\bar{\mathcal{R}}}{z^*} b \end{aligned}$$

что и требовалось доказать.

Лемма 4.1. Пусть  $t_i \in \omega$  и  $\bar{l}$  - единичный вектор, не принадлежащий  $N(t_i)$ . Тогда для всех  $t_j \in \omega$  ( $t_j > t_i$ ),  $x \in R^n$ ,  $u(\cdot) \in \mathcal{U}^2$  и любого  $q \in Q^2(\bar{l}, t_i)$  справедливо неравенство

$$d(t_j, \bar{l}, y^2(t_j; t_i, x, u(\cdot), q)) \leq d(t_i, \bar{l}, x) + 2 \frac{\mathcal{R}}{z} \sigma(t_j - t_i)^2 \quad (4.5)$$

Доказательство. Если  $\bar{l} \in N(W(t_i))$ , то неравенство (4.5) выполнено в силу условия 3, неравенства  $\mathcal{R}/z \geq 1$ , эквивалентности соотношений (4.1) и (4.3) (полагаем в них  $a = \sigma(t_j - t_i)^2$ ).

58-2575

Пусть  $\bar{l}$  не является нормалью многогранника  $W(t_i)$ . Выделим хороший конус линейности  $K$ , содержащий  $\bar{l}$ , а в нем грань  $K^* = \{l_1, l_2, \dots, l_m\}$ ,  $1 < m \leq n$ , минимальной размерности (считаем грань размерности  $n$  совпадающей с  $K$ ), во внутренности которой лежит  $\bar{l}$ .

Покажем, что  $Q^2(\bar{l}, t_i) \subset \bigcap_{s=1}^m Q^2(l_s, t_i)$ . Представим вектор  $\bar{l}$  в виде

$$\bar{l} = \sum_{s=1}^m \lambda_s l_s, \quad \lambda_s > 0, \quad s = \overline{1, m}$$

Пусть  $\bar{q}, q^*$  - произвольные элементы из  $Q^2(\bar{l}, t_i)$  и  $\bigcap_{s=1}^m Q^2(l_s, t_i)$  соответственно. Имеем  $\bar{l}' C^2(t_i) \bar{q} \geq \bar{l}' C^2(t_i) q^*$ , следовательно,

$$\sum_{s=1}^m \lambda_s l_s' C^2(t_i) \bar{q} \geq \sum_{s=1}^m \lambda_s l_s' C^2(t_i) q^* \quad (4.6)$$

С другой стороны,

$$l_s' C^2(t_i) \bar{q} \leq l_s' C^2(t_i) q^*, \quad s = \overline{1, m} \quad (4.7)$$

Так как  $\lambda_s > 0$  при всех  $s$ , то из неравенств (4.6), (4.7) получаем

$$l_s' C^2(t_i) \bar{q} = l_s' C^2(t_i) q^*, \quad s = \overline{1, m}$$

Отсюда  $\bar{q} \in \bigcap_{s=1}^m Q^2(l_s, t_i)$ .

Пусть  $q \in Q^2(\bar{l}, t_i)$ . Поскольку  $l_s \in N(W(t_i))$  и  $q \in Q^2(l_s, t_i)$  для всех  $s = \overline{1, m}$ , то из условия 3 с учетом эквивалентности соотношений (4.1), (4.2) (положив в них  $\alpha = b(t_j - t_i)^2$ ) вытекает

$$\rho(l_s, G_g(t_i, t_j)) \leq \rho(l_s, W(t_i)) + \sigma(t_j - t_i)^2, \quad s = \overline{1, m}$$

Эти неравенства означают, что  $G_g(t_i, t_j)$  принадлежит множеству

$$\Gamma = \{x \in R^n : l_s' x \leq \rho(l_s, W(t_i)) + \sigma(t_j - t_i)^2, \quad s = \overline{1, m}\}$$

Положим

$$\Pi = \{x \in R^n : l_s' x \leq \rho(l_s, W(t_i)), \quad s = \overline{1, m}\}$$

Имеем  $\rho(l, \Pi) = \rho(l, W(t_i))$ ,  $l \in K^*$ . Учитывая (1.5), применяем утверждение 4.1 при  $E = K^*$ ,  $g^* = g^*(t_i)$ ,  $\bar{g} = \bar{g}(t_i)$ ,  $z^* = z$ ,  $\mathcal{R} = \mathcal{R}$ . Получаем неравенство

$$\rho(\bar{l}, G_g(t_i, t_j)) \leq \rho(\bar{l}, W(t_i)) + 2 \frac{\mathcal{R}}{z} \sigma(t_j - t_i)^2$$

равносильное в силу эквивалентности соотношений (4.2), (4.3)

(полагаем  $\alpha = 2 \frac{\mathcal{R}}{z} \sigma(t_j - t_i)^2$ ) неравенству (4.5). Доказательство закончено.

Лемма 4.2. Пусть  $\mu^* \in [0, 1)$  и единичные векторы  $\bar{l}$ ,  $l_1, l_2, \dots, l_n$  таковы, что

$$\bar{l} = \sum_{s=1}^n \lambda_s l_s, \quad \lambda_s \geq 0, \quad \bar{l}' l_s \leq 1 - \mu^*, \quad s = \overline{1, n}$$

Если при некоторых  $x \in R^n$  и  $h \geq 0$  выполнено неравенство  $\bar{l}' x \geq -h$ , то

$$\max_{1 \leq s \leq n} l_s' x \geq -h + h \mu^*$$

Доказательство. Предположим противное:  $l_s' x < -h + h \mu^*$

58-9515

для всех  $1 \leq s \leq n$ . Тогда

$$\bar{l}'x = \sum_{s=1}^n \lambda_s l'_s x < -h(1-\mu^*) \sum_{s=1}^n \lambda_s \quad (4.8)$$

Оценим величину  $\sum_{s=1}^n \lambda_s$ :

$$1 = \bar{l}'\bar{l} = \sum_{s=1}^n \lambda_s \bar{l}'l_s \leq (1-\mu^*) \sum_{s=1}^n \lambda_s, \quad (4.9)$$

$$\sum_{s=1}^n \lambda_s \geq \frac{1}{1-\mu^*}$$

Из неравенств (4.8), (4.9) получаем  $\bar{l}'x < -h$ , что противоречит условию леммы.

Положим

$$\nu = \max_{q \in Q} |q|, \quad \xi = \sup_{t \in T} \|C^2(t)\|,$$

$$\sigma_1 = 2\nu\nu + \frac{2}{\nu}(\beta + 4\nu\xi\nu)\nu\sqrt{n}T(2\nu\nu + \sigma), \quad \sigma_2 = 2\sqrt{2}\xi\nu(1 + \beta\nu\sqrt{n})$$

Лемма 4.3. Пусть  $\mu^* \in [0, 1)$ ,  $t_i \in \omega$  и единичный вектор  $\bar{l}$  принадлежит конусу линейности  $K = \text{con}\{l_1, l_2, \dots, l_n\}$  функции  $g(\cdot, W(t_i))$ . Пусть  $\bar{l}'l_k \geq 1 - \mu^*$  при некотором  $k$ ,  $1 \leq k \leq n$ . Тогда для всех  $t_j \in \omega$  ( $t_j > t_i$ ),  $x \in R^n$ ,  $u(\cdot) \in \mathcal{U}^2$  и любого  $q \in Q^2(\bar{l}, t_i)$  справедливо неравенство

$$d(t_j, \bar{l}, y^2(t_j; t_i, x, u(\cdot), q)) \leq$$

5756-85

$$\leq d(t_i, \bar{l}, x) + \sigma_1 (t_j - t_i)^2 + \sigma_2 \sqrt{f_k^*} (t_j - t_i) \quad (4.10)$$

Доказательство. Пусть  $q_s$ ,  $s = \overline{1, n}$ , означает произвольный вектор из  $Q^2(l_s, t_i)$ . В силу условия 3 и эквивалентности неравенств (4.1), (4.2) (полагаем в них  $\alpha = \sigma(t_j - t_i)^2$ ) имеем

$$\rho(l_s, G_{q_s}(t_i, t_j)) \leq \rho(l_s, W(t_i)) + \sigma(t_j - t_i)^2. \quad (4.11)$$

Оценим величину  $\rho(l_s, G_{q_k}(t_i, t_j))$ ,  $s = \overline{1, n}$ . Используя (4.11), запишем

$$\begin{aligned} & \rho(l_s, G_{q_k}(t_i, t_j)) \leq \\ & \leq \rho(l_s, W(t_i)) + \rho(l_s, G_{q_k}(t_i, t_j)) - \rho(l_s, G_{q_s}(t_i, t_j)) + \sigma(t_j - t_i)^2 \quad (4.12) \end{aligned}$$

Сформулируем вспомогательное утверждение. Пусть  $\tilde{\varphi}, \varphi^*$  - произвольные единичные векторы и  $\tilde{q} \in Q^2(\tilde{\varphi}, t_i)$ ,  $q^* \in Q^2(\varphi^*, t_i)$ . Тогда

$$\begin{aligned} & |\rho(\tilde{\varphi}, G_{\tilde{q}}(t_i, t_j)) - \rho(\varphi^*, G_{q^*}(t_i, t_j))| \leq \\ & \leq 2\varepsilon \delta |\tilde{\varphi} - \varphi^*| (t_j - t_i) + 2\chi \delta (t_j - t_i)^2 \quad (4.13) \end{aligned}$$

Справедливость оценки (4.13) будет показана в конце доказательства леммы.

Применяя оценку (4.13) к разности  $\rho(l_s, G_{q_k}(t_i, t_j)) - \rho(l_s, G_{q_s}(t_i, t_j))$ , стоящей в правой части неравенства (4.12), получим

$$\rho(l_s, G_{q_k}(t_i, t_j)) \leq$$

58-2545

$$\leq \rho(l_s, W(t_i)) + 2\xi \nu |l_s - l_k| (t_j - t_i) + (2\xi \nu + \sigma)(t_j - t_i)^2, \quad s = \overline{1, n} \quad (4.14)$$

Из неравенства (4.14) следует, что множество  $G_{g^k}(t_i, t_j)$  принадлежит конусу  $\Gamma = \{x \in R^n : l'_s x \leq a_s + b, s = \overline{1, n}\}$ , где

$$a_s = \rho(l_s, W(t_i)) + 2\xi \nu |l_s - l_k| (t_j - t_i), \quad s = \overline{1, n}$$

$$b = (2\xi \nu + \sigma)(t_j - t_i)^2.$$

Положим  $\Pi = \{x \in R^n : l'_s x \leq a_s, s = \overline{1, n}\}$ . Очевидно  $l'_g(t_i) + \tau \leq \rho(l, \Pi)$  при любом  $l \in K \cap S$ . Ниже, используя утверждение 4.1, оценим сверху опорную функцию  $\rho(\cdot, \Gamma)$  на  $K \cap S$ , а через нее затем и опорную функцию  $\rho(\cdot, G_{g^k}(t_i, t_j))$ . Предварительно найдем оценку сверху для  $\rho(\cdot, \Pi)$  на  $K \cap S$ .

Из определения множества  $\Pi$  и линейности функции  $\rho(\cdot, W(t_i))$  на конусе  $K$  получаем, что

$$\rho(l, \Pi) - \rho(l, W(t_i)) = l'f, \quad l \in K$$

где вектор  $f$  есть решение системы уравнений

$$l'_s f = 2\xi \nu |l_s - l_k| (t_j - t_i), \quad s = \overline{1, n} \quad (4.15)$$

Компонента с номером  $m$  вектора  $f$  записывается по формуле

$$f^{(m)} = 2\xi \nu (t_j - t_i) \sum_{s=1}^n \frac{|l_s - l_k| D_{sm}}{D}$$

Здесь  $D$  - определитель матрицы, составленной из компонент векторов  $l_1, l_2, \dots, l_n$ , а  $D_{sm}$  - алгебраическое дополнение

5756-85



элемента матрицы с номерами  $s, m$ . Учитывая условие 4, заключаем, что  $|\mathcal{f}^{(m)}| \leq 2\beta\xi \nu n (t_j - t_i)$ . Отсюда

$$|\mathcal{f}| \leq 2\beta\xi \nu n \sqrt{n} (t_j - t_i)$$

Таким образом,

$$\begin{aligned} \rho(l, \Pi) - \rho(l, W(t_i)) &= l' \mathcal{f} = (l - l_k)' \mathcal{f} \leq \\ &\leq \|l - l_k\| |\mathcal{f}| \leq 2\beta\xi \nu n \sqrt{n} \|l - l_k\| (t_j - t_i), \quad l \in K \end{aligned}$$

Поэтому

$$\begin{aligned} \rho(l, \Pi) &\leq \\ &\leq \rho(l, W(t_i)) + 2\beta\xi \nu n \sqrt{n} \|l - l_k\| (t_j - t_i), \quad l \in K \cap S, \quad (4.16) \end{aligned}$$

и более грубо, используя (1.5),

$$\rho(l, \Pi) \leq l' \bar{g}(t_i) + \mathcal{R} + 4\beta\xi \nu n \sqrt{n} T, \quad l \in K \cap S \quad (4.17)$$

Применим утверждение 4.1 для оценки  $\rho(l, \Gamma)$ ,  $l \in K \cap S$ . Положим  $E = K$ ,  $g^* = g^*(t_i)$ ,  $\bar{g} = \bar{g}(t_i)$ ,  $z^* = z$ ,  $\mathcal{R} = \mathcal{R} + 4\beta\xi \nu n \sqrt{n} T$ . Имеем

$$\rho(l, \Gamma) \leq \rho(l, \Pi) + \frac{2}{z} (\mathcal{R} + 4\beta\xi \nu n \sqrt{n} T) (2\gamma\nu + \sigma) (t_j - t_i)^2$$

Вспомогая вложение  $G_{g^*}^l(t_i, t_j) \subset \Gamma$  и оценивая  $\rho(l, \Pi)$  при помощи (4.16), получаем

$$\rho(l, G_{g^*}^l(t_i, t_j)) \leq \rho(l, W(t_i)) + 2\beta\xi \nu n \sqrt{n} \|l - l_k\| (t_j - t_i) +$$

5756-85

$$+ \frac{2}{\varepsilon} (\mathcal{R} + 4\beta\xi) n \sqrt{n} T (2\chi\nu + \sigma) (t_j - t_i)^2, \quad \ell \in K \cap S \quad (4.18)$$

Обратимся теперь к вектору  $\bar{\ell}$ , о котором говорится в условии леммы. Пусть  $q \in Q^2(\bar{\ell}, t_i)$ . Применив оценку (4.13) к разности  $\rho(\bar{\ell}, G_q(t_i, t_j)) - \rho(\bar{\ell}, G_{q_k}(t_i, t_j))$ , получим

$$\begin{aligned} & \rho(\bar{\ell}, G_q(t_i, t_j)) \leq \\ & \leq \rho(\bar{\ell}, G_{q_k}(t_i, t_j)) + 2\xi\nu |\bar{\ell} - \ell_k| (t_j - t_i) + 2\chi\nu (t_j - t_i)^2 \end{aligned}$$

Оценим  $\rho(\bar{\ell}, G_{q_k}(t_i, t_j))$  по формуле (4.18). Учтем также, что соотношение  $|\bar{\ell} - \ell_k| \geq 1 - \mu^*$  влечет за собой неравенство  $|\bar{\ell} - \ell_k| \leq \sqrt{2\mu^*}$ . Окончательно приходим к неравенству

$$\begin{aligned} \rho(\bar{\ell}, G_q(t_i, t_j)) & \leq \rho(\bar{\ell}, W(t_i)) + 2\xi\nu \sqrt{2\mu^*} (1 + \beta n \sqrt{n}) (t_j - t_i) + \\ & + [2\chi\nu + \frac{2}{\varepsilon} (\mathcal{R} + 4\beta\xi) n \sqrt{n} T (2\chi\nu + \sigma)] (t_j - t_i)^2 = \\ & = \rho(\bar{\ell}, W(t_i)) + \sigma_1 (t_j - t_i)^2 + \sigma_2 \sqrt{\mu^*} (t_j - t_i) \end{aligned}$$

из которого в силу эквивалентности соотношений (4.2), (4.3) (полагаем в них  $a = \sigma_1 (t_j - t_i)^2 + \sigma_2 \sqrt{\mu^*} (t_j - t_i)$ ) вытекает требуемое неравенство (4.10).

В завершение доказательства леммы покажем справедливость оценки (4.13). Имеем

$$\begin{aligned}
 & |\rho(\tilde{\varphi}, G_{q_*}(t_i, t_j)) - \rho(\tilde{\varphi}, G_{\tilde{q}}(t_i, t_j))| = \\
 & = |\tilde{\varphi}' \int_{t_i}^{t_j} C^2(\tau) \tilde{q} d\tau - \tilde{\varphi}' \int_{t_i}^{t_j} C^2(\tau) q_* d\tau| \quad (4.19)
 \end{aligned}$$

Прибавляя и вычитая числа  $\tilde{\varphi}' \int_{t_i}^{t_j} C^2(\tau) \tilde{q} d\tau$ ,  $\tilde{\varphi}' \int_{t_i}^{t_j} C^2(\tau) q_* d\tau$ , оценим сверху правую часть равенства (4.19) суммой

$$\begin{aligned}
 & |\tilde{\varphi}' C^2(t_i)(\tilde{q} - q_*)(t_j - t_i)| + |\int_{t_i}^{t_j} (C^2(\tau) - C^2(t_i)) \tilde{q} d\tau + \\
 & \quad + |\int_{t_i}^{t_j} (C^2(t_i) - C^2(\tau)) q_* d\tau| \quad (4.20)
 \end{aligned}$$

Второе и третье слагаемое в (4.20) не превышают величины  $\chi \nu (t_j - t_i)^2$ . Рассмотрим первое слагаемое. Воспользуемся тем, что  $\tilde{\varphi}' C^2(t_i)(\tilde{q} - q_*) \geq 0$ ,  $\varphi_*' C^2(t_i)(\tilde{q} - q_*) \leq 0$ .  
Имеем

$$\begin{aligned}
 & |\tilde{\varphi}' C^2(t_i)(\tilde{q} - q_*)| = \tilde{\varphi}' C^2(t_i)(\tilde{q} - q_*) = \\
 & = \tilde{\varphi}' C^2(t_i)(\tilde{q} - q_*) - \varphi_*' C^2(t_i)(\tilde{q} - q_*) + \varphi_*' C^2(t_i)(\tilde{q} - q_*) \leq \\
 & \leq |\tilde{\varphi} - \varphi_*| \xi 2 \nu
 \end{aligned}$$

Таким образом, первое слагаемое в (4.20) оценивается величиной  $2 \xi \nu |\tilde{\varphi} - \varphi_*| (t_j - t_i)$ , а все выражение (4.20) - суммой  $2 \xi \nu |\tilde{\varphi} - \varphi_*| (t_j - t_i) + 2 \chi \nu (t_j - t_i)^2$ . Отсю-

58-9515

да следует оценка (4.13). Доказательство леммы закончено.

Приступим к доказательству оценки (3.1). Зафиксируем начальную позицию  $(t_*, x_*)$  и программное управление  $u(\cdot) \in \mathcal{U}^1$ . Символом  $y^1(\cdot)$  обозначим движение системы (I.1) из начальной позиции  $(t_*, x_*)$ , когда второй игрок применяет алгоритм а), а первый - управление  $u(\cdot)$ . Пусть  $v^*(\cdot)$  - реализация управления второго игрока вдоль  $y^1(\cdot)$ .

Зафиксируем момент  $t_i \in \omega$ . Пусть  $\tau_{\bar{k}}$  - ближайший слева к  $t_i$  момент из набора  $\{\tau_k\}$ . Покажем, что для любого  $k$ ,  $0 \leq k \leq \bar{k}-1$  выполнено соотношение

$$d(\tau_{k+1}, l(\tau_{k+1}), y^1(\tau_{k+1})) \leq \max\{0, d(\tau_k, l(\tau_k), y^1(\tau_k))\} + 2\frac{\rho}{z}\sigma\Delta^2 + \varepsilon(\tau_k, \tau_{k+1}) \quad (4.21)$$

Кроме того,

$$d(t_i, l(\tau_{\bar{k}+1}), y^1(t_i)) \leq \max\{0, d(\tau_{\bar{k}}, l(\tau_{\bar{k}}), y^1(\tau_{\bar{k}}))\} + 2\frac{\rho}{z}\sigma(t_i - \tau_{\bar{k}})^2 + \varepsilon(\tau_{\bar{k}}, t_i) \quad (4.22)$$

Вначале докажем неравенство

$$d(\tau_k, l(\tau_{k+1}), y^1(\tau_k)) \leq \max\{0, d(\tau_k, l(\tau_k), y^1(\tau_k))\}, \quad 0 \leq k \leq \bar{k} \quad (4.23)$$

Если  $l(\tau_k) \notin \Lambda(\tau_k)$ , то  $l(\tau_{k+1}) = l(\tau_k)$  и соотношение (4.23) реализуется в виде  $d(\tau_k, l(\tau_{k+1}), y^1(\tau_k)) = d(\tau_k, l(\tau_k), y^1(\tau_k))$ . Пусть  $l(\tau_k) \in K = \text{con}\{l_1, l_2, \dots, l_n\} \subset \Lambda(\tau_k)$ . Обозначим через  $w$  вершину многогранни-

58-9515

на  $W(\tau_k)$ , соответствующую конусу  $K$ , т.е.  $l'w = \rho(l, W(\tau_k))$  при  $l \in K$ . Обращаясь к лемме 4.2, положим

$$\mu^* = 0, \quad \bar{l} = l(\tau_k), \quad x = y'(\tau_k) - w,$$

$$h = \max\{0, -\bar{l}'x\} = \max\{0, l'(\tau_k)(w - y'(\tau_k))\}$$

Получим

$$\max_{1 \leq s \leq n} l'_s(y'(\tau_k) - w) \geq -\max\{0, l'(\tau_k)(w - y'(\tau_k))\} \quad (4.24)$$

Учитывая, что  $l'(w - y'(\tau_k)) = d(\tau_k, l, y'(\tau_k))$  при  $l \in K$ , перепишем (4.24) в виде

$$\min_{1 \leq s \leq n} d(\tau_k, l_s, y'(\tau_k)) \leq \max\{0, d(\tau_k, l(\tau_k), y'(\tau_k))\}$$

Отсюда по правилу выбора вектора  $l(\tau_{k+1})$  в алгоритме а) следует неравенство (4.23).

Пусть  $0 \leq k \leq \bar{k} - 1$ . Обозначим через  $u_k(\cdot)$  программное управление первого игрока на промежутке  $[\tau_k, \tau_{k+1})$ , удовлетворяющее условию

$$l'(\tau_{k+1})B^2(t)u_k(t) = \min_{p \in P^2} l'(\tau_{k+1})B^2(t)p$$

На промежутке  $[\tau_k, \tau_{k+1})$  управление  $v^*(t)$  есть постоянный вектор из  $Q^2(l(\tau_{k+1}), \tau_k)$ . В силу леммы 4.1 и неравенства (4.23) имеем

$$d(\tau_{k+1}, l(\tau_{k+1}), y^2(\tau_{k+1}; \tau_k, y^1(\tau_k), u_k(\cdot), v^*(\cdot))) \leq$$

58-9515

$$\leq \max\{0, d(\tau_k, l(\tau_k), y'(\tau_k))\} + 2\frac{\mathcal{R}}{\varepsilon} \sigma(\tau_{k+1} - \tau_k)^2 \quad (4.25)$$

Отсюда

$$d(\tau_{k+1}, l(\tau_{k+1}), y'(\tau_{k+1})) \leq \max\{0, d(\tau_k, l(\tau_k), y'(\tau_k))\} + 2\frac{\mathcal{R}}{\varepsilon} \sigma(\tau_{k+1} - \tau_k)^2 + l'(\tau_{k+1}) [y^2(\tau_{k+1}; \tau_k, y'(\tau_k), u_k(\cdot), v^*(\cdot)) - y'(\tau_{k+1})] \quad (4.26)$$

Расписывая последнее слагаемое, получим

$$\begin{aligned} & l'(\tau_{k+1}) [y^2(\tau_{k+1}; \tau_k, y'(\tau_k), u_k(\cdot), v^*(\cdot)) - y'(\tau_{k+1})] = \\ & = l'(\tau_{k+1}) \int_{\tau_k}^{\tau_{k+1}} [B^2(\tau) u_k(\tau) - B^1(\tau) u(\tau) + C^2(\tau) v^*(\tau) - C^1(\tau) v^*(\tau)] d\tau \leq \quad (4.27) \\ & \leq \varepsilon(\tau_k, \tau_{k+1}) \end{aligned}$$

Поскольку  $\tau_{k+1} - \tau_k = \Delta$ , то из (4.26), (4.27) следует (4.21).

Для получения (4.22) нужно рассмотреть промежуток  $[\tau_{\bar{k}}, t_i]$  и в формулах (4.25)-(4.27) заменить  $\tau_k$  на  $\tau_{\bar{k}}$ ,  $\tau_{k+1}$  на  $t_i$ ,  $l(\tau_{k+1})$  на  $l(\tau_{\bar{k}+1})$

Осуществляя в (4.21) последовательную подстановку при  $k = \bar{k}-1, \bar{k}-2, \dots, 1, 0$ , получим

$$d(\tau_{\bar{k}}, l(\tau_{\bar{k}}), y'(\tau_{\bar{k}})) \leq$$

58-95/5

$$\begin{aligned} &\leq \max\{0, d(t_*, l_*, y^*(t_*))\} + 2\frac{\rho}{z} \sigma \Delta^2 \bar{k} + \varepsilon(t_*, \tau_{\bar{k}}) = \\ &= \max\{0, d(t_*, l_*, y^*(t_*))\} + 2\frac{\rho}{z} \sigma \Delta (\tau_{\bar{k}} - t_*) + \varepsilon(t_*, \tau_{\bar{k}}) \quad (4.28) \end{aligned}$$

Оценка (3.1) вытекает из неравенств (4.22), (4.28) с учетом того, что  $l(t_i) = l(\tau_{\bar{k}+1})$  и  $(t_i - \tau_{\bar{k}}) < \Delta$ .

Докажем оценку (3.2). Зафиксируем  $(t_*, x_*)$ ,  $t_i$ ,  $u(\cdot) \in \mathcal{U}^1$ . Символ  $y^*(\cdot)$  будет означать движение системы (I.1) из  $(t_*, x_*)$ , когда второй игрок применяет алгоритм в), а первый - управление  $u(\cdot)$ . Как и раньше, пусть  $\tau_{\bar{k}}$  - ближайший слева к  $t_i$  момент из набора  $\{\tau_k\}$ .

Покажем, что при любом  $k$ ,  $0 \leq k \leq \bar{k}$ , справедливо неравенство

$$d(\tau_k, l(\tau_{k+1}), y^*(\tau_k)) \leq \max\left\{\frac{2d}{\mu} + 2d, d(\tau_k, l(\tau_k), y^*(\tau_k))\right\} \quad (4.29)$$

соответствующее неравенству (4.23), когда речь шла об алгоритме а).

Если  $l(\tau_k) \notin \Lambda(\tau_k)$  или же  $l(\tau_k) \in \text{con}\{l_1, l_2, \dots, l_n\} \subset \Lambda(\tau_k)$ , но при этом  $l'(\tau_k) l_s > 1 - \mu$  для некоторого  $s$ ,  $1 \leq s \leq n$ , то  $l(\tau_{k+1}) = l(\tau_k)$  и соотношение (4.29) реализуется в виде  $d(\tau_k, l(\tau_{k+1}), y^*(\tau_k)) = d(\tau_k, l(\tau_k), y^*(\tau_k))$ .

Пусть  $l(\tau_k) \in K = \text{con}\{l_1, l_2, \dots, l_n\} \subset \Lambda(\tau_k)$ , причем  $l'(\tau_k) l_s \leq 1 - \mu$ ,  $s = \overline{1, n}$ . Обозначим через  $w$  вершину многогранника  $W(\tau_k)$ , соответствующую конусу  $K$ . Рассмотрим два подслучая.

5756-85

1). Предположим, что  $d(\tau_k, l(\tau_k), y'(\tau_k)) \leq \frac{2d}{\mu}$ .

Перепишем это неравенство в виде  $l'(\tau_k)(y'(\tau_k) - w) \geq -\frac{2d}{\mu}$ . Положив в лемме 4.2

$$\mu^* = 0, \quad \bar{l} = l(\tau_k), \quad x = y'(\tau_k) - w, \quad h = \frac{2d}{\mu}$$

получим

$$\max_{1 \leq s \leq n} l'_s(y'(\tau_k) - w) \geq -\frac{2d}{\mu}$$

или, что то же самое,

$$\min_{1 \leq s \leq n} d(\tau_k, l_s, y'(\tau_k)) \leq \frac{2d}{\mu}$$

Поэтому

$$d(\tau_k, l(\tau_{k+1}), z'(\tau_k)) = \min_{1 \leq s \leq n} d(\tau_k, l_s, z'(\tau_k)) \leq \frac{2d}{\mu} + d$$

и значит  $d(\tau_k, l(\tau_{k+1}), y'(\tau_k)) \leq \frac{2d}{\mu} + 2d$

2). Пусть  $d(\tau_k, l(\tau_k), y'(\tau_k)) > \frac{2d}{\mu}$ . Перепишем это неравенство в виде  $l'(\tau_k)(y'(\tau_k) - w) < -\frac{2d}{\mu}$ . Положив в лемме 4.2

$$\mu^* = \mu, \quad \bar{l} = l(\tau_k), \quad x = y'(\tau_k) - w, \quad h = -l'(\tau_k)x$$

получим

$$\max_{1 \leq s \leq n} l'_s(y'(\tau_k) - w) \geq l'(\tau_k)(y'(\tau_k) - w) - l'(\tau_k)(y'(\tau_k) - w)\mu \geq$$

$$\geq l'(\tau_k)(y'(\tau_k) - w) + 2d$$

5756-85



или, что то же самое

$$\min_{1 \leq s \leq n} d(\tau_k, l_s, y'(\tau_k)) \leq d(\tau_k, l(\tau_k), y'(\tau_k)) - 2\delta$$

Поэтому

$$\begin{aligned} & d(\tau_k, l(\tau_{k+1}), z'(\tau_k)) = \\ & = \min_{1 \leq s \leq n} d(\tau_k, l_s, z'(\tau_k)) \leq d(\tau_k, l(\tau_k), y'(\tau_k)) - \delta \end{aligned}$$

и значит  $d(\tau_k, l(\tau_{k+1}), y'(\tau_k)) \leq d(\tau_k, l(\tau_k), y'(\tau_k))$ .

Неравенство (4.29) доказано.

Пусть  $0 \leq k \leq \bar{k} - 1$ . Рассуждая, как при доказательстве оценки (4.21), но используя вместо (4.23) неравенство (4.29), получим при  $l(\tau_k) \notin \Lambda(\tau_k)$ , а также в случае  $l(\tau_k) \in \Lambda(\tau_k)$ ,  $l(\tau_{k+1}) \in N(W(\tau_k))$  соотношение

$$\begin{aligned} & d(\tau_{k+1}, l(\tau_{k+1}), y'(\tau_{k+1})) \leq \\ & \leq \max\left\{\frac{2\delta}{\mu} + 2\delta, d(\tau_k, l(\tau_k), y'(\tau_k))\right\} + 2\frac{\mu}{\gamma} \delta \Delta^2 + \varepsilon(\tau_k, \tau_{k+1}) \end{aligned} \tag{4.30}$$

При этом мы применяем лемму 4.1. Если же  $l(\tau_k) \in \Lambda(\tau_k)$  и  $l(\tau_{k+1}) \notin N(W(\tau_k))$  (в алгоритме в) это может быть лишь тогда, когда  $l(\tau_k) \in \text{con}\{l_1, l_2, \dots, l_n\} \subset \Lambda(\tau_k)$  и  $l'(\tau_k)l_s > 1 - \mu$  для некоторого  $s$ ,  $1 \leq s \leq n$ , то нужно применить лемму 4.3. Получим

$$d(\tau_{k+1}, l(\tau_{k+1}), y'(\tau_{k+1})) \leq$$

5756-85

$$\leq \max \left\{ \frac{2d}{\mu} + 2d, d(\tau_k, l(\tau_k), y'(\tau_k)) \right\} + \sigma_1 \Delta^2 + \sigma_2 \sqrt{\mu} \Delta + \varepsilon(\tau_k, \tau_{k+1}) \quad (4.31)$$

Правая часть (4.31) не меньше правой части неравенства (4.30). Поэтому во всех случаях мы можем для оценки изменения величины  $d$  на промежутке  $[\tau_k, \tau_{k+1})$  опираться на формулу (4.31).

Оценивая изменение величины  $d$  на промежутке  $[\tau_{\bar{k}}, t_i)$ , имеем

$$d(t_i, l(\tau_{\bar{k}+1}), y'(t_i)) \leq \max \left\{ \frac{2d}{\mu} + 2d, d(\tau_{\bar{k}}, l(\tau_{\bar{k}}), y'(\tau_{\bar{k}})) \right\} + \sigma_1 (t_i - \tau_{\bar{k}})^2 + \sigma_2 \sqrt{\mu} (t_i - \tau_{\bar{k}}) + \varepsilon(\tau_{\bar{k}}, t_i) \quad (4.32)$$

Осуществляя в (4.31) последовательную подстановку при  $k = \bar{k} - 1, \bar{k} - 2, \dots, 1, 0$ , получим

$$d(\tau_{\bar{k}}, l(\tau_{\bar{k}}), y'(\tau_{\bar{k}})) \leq \max \left\{ \frac{2d}{\mu} + 2d, d(t_*, l_*, y'(t_*)) \right\} + \sigma_1 \Delta (\tau_{\bar{k}} - t_*) + \sigma_2 \sqrt{\mu} (\tau_{\bar{k}} - t_*) + \varepsilon(t_*, \tau_{\bar{k}}) \quad (4.33)$$

Оценка (3.2) вытекает из неравенств (4.32), (4.33) с учетом того, что  $l(t_i) = l(\tau_{\bar{k}+1})$  и  $(t_i - \tau_{\bar{k}}) < \Delta$ .

Замечание 4.1. В алгоритмах а), в) управление второго игрока в системе (I.1) на каждом шаге  $[\tau_k, \tau_{k+1})$  дискретной схемы выбирается из множества

$$Q^2(l(\tau_{k+1}), \tau_k) = \arg \max_{q \in Q} l'(\tau_{k+1}) C^2(\tau_k) q$$

т.е. на основе условия максимума, в записи которого стоит матрица  $C^2(\tau_k)$  системы (I.2). Предположим, что функция  $C^1$

5756-85

удовлетворяет условию Липшица с константой  $\chi^1$ . Тогда управление второго игрока в системе (1.1) на каждом шаге дискретной схемы можно выбирать из множества

$$Q^1(l(\tau_{k+1}), \tau_k) = \operatorname{argmax}_{q \in Q} l^1(\tau_{k+1}) C^1(\tau_k) q$$

и будут справедливы оценки, аналогичные оценкам (3.1), (3.2). Отличие лишь в том, что в правую часть каждой из оценок добавится слагаемое  $2\chi^1 \nu(t_i - t_*) \Delta$ .

Поясним изменение в доказательстве оценок. Пусть  $v^*(\cdot)$  - кусочно-постоянная функция, значение которой на каждом шаге дискретной схемы принадлежит  $Q^2(l(\tau_{k+1}), \tau_k)$ . В разобранном случае такой функцией является реализация управления второго игрока вдоль движения  $y^1(\cdot)$ . В новом варианте реализацию управления второго игрока в системе (1.1) вдоль  $y^1(\cdot)$  обозначим  $\bar{v}(\cdot)$ . На каждом шаге дискретной схемы  $\bar{v}(\tau)$  - постоянный вектор из  $Q^1(l(\tau_{k+1}), \tau_k)$ . Отличие в доказательстве новых оценок появляется только при оценке скалярного произведения

$$\begin{aligned} & l^1(\tau_{k+1}) [y^2(\tau_{k+1}; \tau_k, y^1(\tau_k), u_k(\cdot), v^*(\cdot)) - y^1(\tau_{k+1})] = \\ & = l^1(\tau_{k+1}) \int_{\tau_k}^{\tau_{k+1}} [B^2(\tau) u_k(\tau) - B^1(\tau) u_k(\tau) + C^2(\tau) v^*(\tau) - C^1(\tau) \bar{v}(\tau)] d\tau \end{aligned} \quad (4.34)$$

при  $0 \leq k \leq \bar{k} - 1$  и аналогичного ему выражения

$$l^1(\tau_{\bar{k}+1}) [y^2(t_i; \tau_{\bar{k}}, y^1(\tau_{\bar{k}}), u_{\bar{k}}(\cdot), v^*(\cdot)) - y^1(t_i)] \quad (4.35)$$

Добавим в подынтегральное выражение правой части (4.34) члены

58-9575

$+ (C^1(\tau)v^*(\tau) + C^1(\tau_k)v^*(\tau) + C^1(\tau_k)\bar{v}(\tau))$  . Поскольку  
 ку

$$l'(\tau_{k+1}) \int_{\tau_k}^{\tau_{k+1}} C^1(\tau_k)(v^*(\tau) - \bar{v}(\tau)) d\tau \leq 0$$

и функция  $C^1$  удовлетворяет условию Липшица с константой  $\chi^1$ , то правая часть (4.34) оценивается сверху величиной  $\varepsilon(\tau_k, \tau_{k+1}) + 2\chi^1(\tau_{k+1} - \tau_k)^2$  (см. для сравнения (4.27)). Соответственно (4.35) оценивается сверху числом  $\varepsilon(\tau_k, t_i) + 2\chi^1(t_i - \tau_k)^2$ . Суммирование по  $k$  и приводит к добавочному члену  $2\chi^1(t_i - t_*)\Delta$  по сравнению с оценками (3.1), (3.2).

§ 5. Выполнение условия 3

В § I был описан способ понятного построения множеств  $W(t_e)$ , в основе которого лежат формулы (I.6), (I.7). В этом параграфе докажем выполнение условия 3 для такого способа. Напомним, что функции  $B^1, C^1$  предполагались липшицевыми, а функции  $B^2, C^2$  их кусочно-постоянными аппроксимациями с шагом  $\varepsilon$ .

Существенную роль в алгоритме понятного построения играет набор векторов  $L(t_e), t_e \neq t^*$ . Для него должно быть выполнено ограничение  $N(W(t_{e+1})) \subset L(t_e)$ . Приведем естественные примеры задания набора  $L(t_e)$ .

1)  $L(t_e) = L$  для любого  $e$ ,  $L = N(M^2)$ , т.е. набор  $L$  зафиксирован и не меняется от шага к шагу. Очевидно, что вложение  $N(W(t_{e+1})) \subset L$  выполнено.

2)  $L(t_e) = N(W(t_{e+1}) - \varepsilon B^2(t_e)P^2)$ . В этом

58-2575

случае набор  $L(t_e)$  - совокупность всех нормалей многогранника  $W(t_{e+1}) - \alpha B^2(t_e) P^2$ . Его опорная функция есть сумма первых двух слагаемых в формуле (I.6).

3)  $N(W(t_{e+1})) \subset L(t_e) \subset N(W(t_{e+1}) - \alpha B^2(t_e) P^2)$ . Этот случай соответствует ситуации, когда мы при построении  $W(t_e)$  на основе  $W(t_{e+1})$  в качестве промежуточного действия, как и в случае 2), находим опорную функцию многогранника  $W(t_{e+1}) - \alpha B^2(t_e) P^2$ , но определяем ее не точно, а приближенно, "склеивая" очень близкие образующие конусов линейности опорной функции и "ликвидируя" "вытянутые" конусы линейности (последнее при размерности  $n \geq 3$ ), оставляя, однако, все образующие, принадлежащие  $N(W(t_{e+1}))$ .

В случаях 1), 3) многогранники  $W(t_e)$ , определяемые формулами (I.6), (I.7), оценивают сверху сечения максимального  $U$ -стабильного моста для игры (I.2). В случае 2) вычисления по формулам (I.6), (I.7) дают точные сечения максимального  $U$ -стабильного моста.

В § I было пояснено выполнение условия 3 в алгоритме поэтапного построения множеств  $W(t_e)$  при  $j = i+1$ . Перейдем к случаю  $j > i+1$ . Восстановим формулу (I.7) для  $W(t_e)$ :

$$W(t_e) = \{x \in R^n : l'x \leq \eta(l, t_e), \quad l \in L(t_e)\},$$

где

$$\eta(l, t_e) = \rho(l, W(t_{e+1})) + \varphi(l, t_e),$$

$$\varphi(l, t_e) = \alpha[\rho(l, -B^2(t_e)P^2) - \rho(l, C^2(t_e)Q)]$$

Пусть  $\psi^1$  и  $\chi^1$  - константы Липшица функций  $B^1$  и  $C^1$  соответственно. Положим

5756-85

$$\nu^2 = \max_{p \in P^2} |p|,$$

$$\xi^2 = \max_{t \in T} \|B^2(t)\|$$

Будем считать, что шаг  $\varepsilon$  попятных построений достаточно мал, а именно,

$$\varepsilon \leq \varepsilon / 2 (\xi^2 \nu^2 + \xi \nu) \quad (5.1)$$

Тогда для любого  $\varepsilon$  и всех  $l \in S$  выполнено неравенство

$$|\varphi(l, t_\varepsilon)| \leq \varepsilon / 2 \quad (5.2)$$

Обозначим

$$d^*(l, t_\varepsilon) = \eta(l, t_\varepsilon) - \rho(l, W(t_\varepsilon)),$$

$$\sigma^* = (1 + 6 \frac{\rho}{\varepsilon}) (\psi^1 \nu^2 + \gamma^1 \nu)$$

Лемма 5.1. Пусть шаг  $\varepsilon$  удовлетворяет соотношению (5.1) и попятная процедура построения множеств  $W(t_\varepsilon)$  описывается формулами (I.6), (I.7). Тогда для всех моментов  $t_\varepsilon \in \omega$ , ( $t_\varepsilon \neq \vartheta$ ,  $t_\varepsilon \neq \vartheta - \varepsilon$ ) и любого единичного вектора  $\bar{l}$  справедливо неравенство

$$d^*(\bar{l}, t_{\varepsilon+1}) \leq d^*(\bar{l}, t_\varepsilon) + \sigma^* \varepsilon^2$$

Доказательство. Обозначим

$$\tilde{\eta}(l, t_\varepsilon) = \rho(l, W(t_{\varepsilon+1})) + \varphi(l, t_{\varepsilon+1}),$$

$$\tilde{W}(t_\varepsilon) = \{x \in R^n : l'x \leq \tilde{\eta}(l, t_\varepsilon), l \in L(t_\varepsilon)\},$$

58-9575

$$\tilde{d}(l, t_e) = \tilde{\eta}(l, t_e) - \rho(l, \tilde{W}(t_e))$$

По условию 2 множество  $W(t_{e+1})$  содержит в себе шар радиуса  $z$ . Поэтому из неравенства (5.2) следует, что  $\tilde{W}(t_e)$  содержит шар радиуса  $z/2$ . Более точно

$$l'g^*(t_{e+1}) + \frac{z}{2} \leq \rho(l, \tilde{W}(t_e)),$$

$$e = 0, 1, 2, \dots; t_e \neq \vartheta; l \in S \tag{5.3}$$

Справедлива также оценка сверху

$$\rho(l, \tilde{W}(t_e)) \leq l'g^*(t_{e+1}) + 2z, e = 0, 1, 2, \dots; t_e \neq \vartheta; l \in S \tag{5.4}$$

Докажем ее при помощи утверждения 4.1. Зафиксируем момент  $t_e$  и произвольный конус линейности  $K$  функции  $\rho(\cdot, W(t_{e+1}))$ . Пусть  $l_s, s = \overline{1, n}$ , - его образующие. Векторы  $l_1, l_2, \dots, l_n$  - нормали многогранника  $W(t_{e+1})$ . В силу вложения  $N(W(t_{e+1})) \subset L(t_e)$  они принадлежат  $L(t_e)$ . Отсюда и из неравенства (5.2) вытекает, что многогранник  $\tilde{W}(t_e)$  содержится в множестве

$$\Gamma = \{x \in R^n : l'_s x \leq \rho(l_s, W(t_{e+1})) + \frac{z}{2}, s = \overline{1, n}\}$$

Пусть

$$\Pi = \{x \in R^n : l'_s x \leq \rho(l_s, W(t_{e+1})), s = \overline{1, n}\}$$

Имеем  $\rho(l, \Pi) = \rho(l, W(t_{e+1}))$  при  $l \in K$ . Используя утверждение 4.1 при

5756-85

$$E = K, g^* = g^*(t_{e+1}), \bar{g} = \bar{g}(t_{e+1}),$$

$$z^* = z, \bar{\mathcal{R}} = \mathcal{R}, b = z/2$$

получим

$$\rho(l, \Gamma) \leq \rho(l, W(t_{e+1})) + 2 \frac{\mathcal{R}}{z} \frac{z}{2}, \quad l \in K \cap S$$

Отсюда, учитывая неравенство  $\rho(l, W(t_{e+1})) \leq l' \bar{g}(t_{e+1}) + \mathcal{R}$  и произвольность выбора момента  $t_e$  и конуса  $K$ , приходим к оценке (5.4).

Запишем разность  $d^*(l, t_{e+1}) - d^*(l, t_e)$  в виде

$$d^*(l, t_{e+1}) - d^*(l, t_e) = [d^*(l, t_{e+1}) - \tilde{d}(l, t_e)] + [\tilde{d}(l, t_e) - d^*(l, t_e)] \quad (5.5)$$

Зафиксируем момент  $t_e$  и единичный вектор  $\bar{l}$ . Оценим первую разность в правой части равенства (5.5). Расписывая ее, получим

$$d^*(\bar{l}, t_{e+1}) - \tilde{d}(\bar{l}, t_e) =$$

$$= \rho(\bar{l}, W(t_{e+2})) + \varphi(\bar{l}, t_{e+1}) - \rho(\bar{l}, W(t_{e+1})) - \rho(\bar{l}, W(t_{e+1})) -$$

$$- \varphi(\bar{l}, t_{e+1}) + \rho(\bar{l}, \tilde{W}(t_e)) = \rho(\bar{l}, W(t_{e+2})) - 2\rho(\bar{l}, W(t_{e+1})) + \rho(\bar{l}, \tilde{W}(t_e)) \quad (5.6)$$

Пусть  $K = \text{con}\{l_1, l_2, \dots, l_n\}$  - конус линейности функции  $\rho(\cdot, W(t_{e+1}))$ , содержащий  $\bar{l}$ . Подберем неотрицательные коэффициенты  $\lambda_1, \lambda_2, \dots, \lambda_n$  так, что  $\bar{l} = \sum_{s=1}^n \lambda_s l_s$ . В силу вложения  $N(W(t_{e+1})) \subset L(t_e)$  векторы  $l_1, l_2, \dots,$

5756-85



$l_n$  принадлежат  $L(t_e)$ . Поэтому

$$\rho(l_s, \tilde{W}(t_e)) \leq \tilde{\eta}(l_s, t_e) = \rho(l_s, W(t_{e+1})) + \varphi(l_s, t_{e+1}), \quad s = \overline{1, n} \quad (5.7)$$

Очевидно также

$$\rho(l_s, W(t_{e+1})) = \eta(l_s, t_{e+1}), \quad s = \overline{1, n} \quad (5.8)$$

Из соотношений (5.7), (5.8) имеем

$$\rho(l_s, \tilde{W}(t_e)) \leq \eta(l_s, t_{e+1}) + \varphi(l_s, t_{e+1}), \quad s = \overline{1, n}$$

Стало быть

$$\begin{aligned} \rho(\bar{l}, \tilde{W}(t_e)) &\leq \sum_{s=1}^n \lambda_s \rho(l_s, \tilde{W}(t_e)) \leq \\ &\leq \sum_{s=1}^n \lambda_s [\eta(l_s, t_{e+1}) + \varphi(l_s, t_{e+1})] \end{aligned}$$

Подставим эту оценку, а также соотношения

$$\rho(\bar{l}, W(t_{e+2})) \leq \sum_{s=1}^n \lambda_s \rho(l_s, W(t_{e+2})),$$

$$\rho(\bar{l}, W(t_{e+1})) = \sum_{s=1}^n \lambda_s \rho(l_s, W(t_{e+1})) = \sum_{s=1}^n \lambda_s \eta(l_s, t_{e+1})$$

в формулу (5.6). Получим

$$\begin{aligned} d^*(\bar{l}, t_{e+1}) - \tilde{d}(\bar{l}, t_e) &\leq \\ &\leq \sum_{s=1}^n \lambda_s [\rho(l_s, W(t_{e+2})) - 2\eta(l_s, t_{e+1}) + \eta(l_s, t_{e+1}) + \varphi(l_s, t_{e+1})] \end{aligned}$$

5756-85

Сумма в квадратных скобках равна нулю. Таким образом,

$$d^*(\bar{l}, t_{e+1}) - \tilde{d}(\bar{l}, t_e) \leq 0 \quad (5.9)$$

Оценим вторую разность в правой части равенства (5.5). Расписывая ее, получим

$$\begin{aligned} \tilde{d}(\bar{l}, t_e) - d^*(\bar{l}, t_e) &= \rho(\bar{l}, W(t_{e+1})) + \varphi(\bar{l}, t_{e+1}) - \rho(\bar{l}, \tilde{W}(t_e)) - \\ &- \rho(\bar{l}, W(t_{e+1})) - \varphi(\bar{l}, t_e) + \rho(\bar{l}, W(t_e)) = \\ &= \varphi(\bar{l}, t_{e+1}) - \varphi(\bar{l}, t_e) + \rho(\bar{l}, W(t_e)) - \rho(\bar{l}, \tilde{W}(t_e)) \end{aligned} \quad (5.10)$$

58-2575  
Зафиксированный нами вектор  $\bar{l}$  принадлежит некоторому конусу линейности  $K$  функции  $\rho(\cdot, \tilde{W}(t_e))$ . Образующие конуса - нормали к граням многогранника  $\tilde{W}(t_e)$ . Отобразив должным образом  $n$  образующих  $\tilde{l}_1, \tilde{l}_2, \dots, \tilde{l}_n$ , представим вектор  $\bar{l}$  в виде  $\bar{l} = \sum_{s=1}^n \gamma_s \tilde{l}_s$ , где коэффициенты  $\gamma_s$  неотрицательны.

Учитывая неравенства (5.3), (5.4), запишем

$$\begin{aligned} \bar{l}' g^*(t_{e+1}) + \frac{\alpha}{2} \sum_{s=1}^n \gamma_s &= \\ = \sum_{s=1}^n \gamma_s \tilde{l}_s' g^*(t_{e+1}) + \frac{\alpha}{2} \sum_{s=1}^n \gamma_s &\leq \sum_{s=1}^n \gamma_s \rho(\tilde{l}_s, \tilde{W}(t_e)) = \\ = \rho(\bar{l}, \tilde{W}(t_e)) \leq \bar{l}' g^*(t_{e+1}) + 2\alpha \end{aligned}$$

Отсюда

$$\sum_{s=1}^n \mu_s \leq 2 [\bar{l}'(\bar{g}(t_{e+1}) - g^*(t_{e+1})) + 2R] / r \leq 6R/r \quad (5.11)$$

Поскольку  $\tilde{l}_s, s = \overline{1, n}$ , - нормали к граням  $\tilde{W}(t_e)$ , то  $\rho(\tilde{l}_s, \tilde{W}(t_e)) = \tilde{\eta}(\tilde{l}_s, t_e), s = \overline{1, n}$ , и поэтому

$$\rho(\bar{l}, \tilde{W}(t_e)) = \sum_{s=1}^n \mu_s \rho(\tilde{l}_s, \tilde{W}(t_e)) = \sum_{s=1}^n \mu_s \tilde{\eta}(\tilde{l}_s, t_e) \quad (5.12)$$

Каждый из векторов  $\tilde{l}_s, s = \overline{1, n}$ , принадлежит набору  $L(t_e)$ . Следовательно,  $\rho(\tilde{l}_s, \tilde{W}(t_e)) \leq \eta(\tilde{l}_s, t_e), s = \overline{1, n}$ . Отсюда

$$\rho(\bar{l}, \tilde{W}(t_e)) \leq \sum_{s=1}^n \mu_s \rho(\tilde{l}_s, \tilde{W}(t_e)) \leq \sum_{s=1}^n \mu_s \eta(\tilde{l}_s, t_e) \quad (5.13)$$

Подставим (5.12), (5.13) в (5.10). Учитывая (5.11), получим

$$\begin{aligned} & \tilde{d}(\bar{l}, t_e) - d^*(\bar{l}, t_e) \leq \\ & \leq \varphi(\bar{l}, t_{e+1}) - \varphi(\bar{l}, t_e) + \sum_{s=1}^n \mu_s [\eta(\tilde{l}_s, t_e) - \tilde{\eta}(\tilde{l}_s, t_e)] \leq \\ & \leq \varphi(\bar{l}, t_{e+1}) + \varphi(\bar{l}, t_e) + \sum_{s=1}^n \mu_s [\varphi(\tilde{l}_s, t_e) - \varphi(\tilde{l}_s, t_{e+1})] \leq \\ & \leq (1 + \sum_{s=1}^n \mu_s) \max_{l \in S} |\varphi(l, t_e) - \varphi(l, t_{e+1})| \leq \end{aligned}$$

58-2585

$$\leq (1 + 6 \frac{\beta}{\gamma}) \max_{l \in S'} |\varphi(l, t_e) - \varphi(l, t_{e+1})| \quad (5.14)$$

Оценим величину максимума в правой части этого неравенства. Имеем

$$\begin{aligned} & \max_{l \in S'} |\varphi(l, t_s) - \varphi(l, t_{s+1})| \leq \\ & \leq \varkappa \left[ \max_{l \in S'} |g(l, -B^2(t_e)P^2) - g(l, -B^2(t_{e+1})P^2)| + \right. \\ & \quad \left. + \max_{l \in S'} |g(l, C^2(t_e)Q) - g(l, C^2(t_{e+1})Q)| \right] \quad (5.15) \end{aligned}$$

5756-85  
Зафиксируем произвольный единичный вектор  $l$ . Предположим, что  $g(l, -B^2(t_e)P^2) - g(l, -B^2(t_{e+1})P^2) \geq 0$ . Пусть  $p^*$  - элемент из  $P^2$ , для которого  $-l'B^2(t_e)p^* = \max_{p \in P^2} (-l'B^2(t_e)p)$ . Тогда

$$\begin{aligned} & |g(l, -B^2(t_e)P^2) - g(l, -B^2(t_{e+1})P^2)| = \\ & = g(l, -B^2(t_e)P^2) - g(l, -B^2(t_{e+1})P^2) \leq \\ & \leq -l'B^2(t_e)p^* + l'B^2(t_{e+1})p^* \leq \|B^2(t_{e+1}) - B^2(t_e)\| |p^*| \leq \psi^1)^2 \varkappa \end{aligned}$$

Такое же неравенство получается и в случае  $g(l, -B^2(t_e)P^2) - g(l, -B^2(t_{e+1})P^2) < 0$ . Поэтому

$$\max_{l \in S'} |g(l, -B^2(t_e)P^2) - g(l, -B^2(t_{e+1})P^2)| \leq \psi^1)^2 \varkappa$$

Аналогичным образом

$$\max_{l \in S} |\rho(l, C^2(t_e)Q) - \rho(l, C^2(t_{e+1})Q)| \leq \gamma^1 \nu \varepsilon$$

Подставляя полученные оценки в (5.15), запишем

$$\max_{l \in S} |\varphi(l, t_e) - \varphi(l, t_{e+1})| \leq (\psi^1 \nu)^2 + \gamma^1 \nu) \varepsilon^2$$

Возвращаясь к (5.14), получим

$$\tilde{d}(\bar{l}, t_e) - d^*(\bar{l}, t_e) \leq (1 + 6 \frac{\mathcal{R}}{2}) (\psi^1 \nu)^2 + \gamma^1 \nu) \varepsilon^2 \quad (5.16)$$

Утверждение леммы вытекает из (5.5), (5.9), (5.16).

Опираясь на лемму 5.1, докажем выполнение условия 3.

Лемма 5.2. Пусть шаг  $\varepsilon$  удовлетворяет соотношению

(5.1) и понятная процедура построения множеств  $W(t_e)$  описывается формулами (1.6), (1.7). Пусть  $t_i, t_j \in \omega$  ( $t_j > t_i$ ) и  $l$  - произвольный единичный вектор нормали многогранника  $W(t_i)$ . Тогда при любом  $q \in Q^2(l, t_i)$  выполнено неравенство

$$\begin{aligned} & \rho(l, W(t_i)) + \min_{u(\cdot) \in \mathcal{U}^2} l' \int_{t_i}^{t_j} (B^2(\tau)u(\tau) + C^2(\tau)q) d\tau \geq \\ & \geq \rho(l, W(t_j)) - \sigma(t_j - t_i)^2 \end{aligned} \quad (5.17)$$

где  $\sigma = \sigma^* / 2 + 2\gamma^1 \nu$ .

Доказательство. Рассмотрим вспомогательное экстремальное по вектору  $l$  кусочно-постоянное программное управление  $\bar{v}(\cdot)$ , заданное на промежутке  $[t_i, t_j]$  соотношением

5756-85

$$l' C^2(t) \bar{v}(t) = \max_{q \in Q} l' C^2(t) q, \quad t \in [t_i, t_j]$$

Докажем неравенство

$$\begin{aligned} \rho(l, W(t_i)) + \min_{u(\cdot) \in \mathcal{U}^2} l' \int_{t_i}^{t_j} (B^2(\tau) u(\tau) + C^2(\tau) \bar{v}(\tau)) d\tau &\geq \\ \geq \rho(l, W(t_j)) - \frac{\sigma^*}{2} (t_j - t_i)^2 &\quad (5.18) \end{aligned}$$

Пусть  $\bar{u}(\cdot)$  - экстремальное по вектору  $l$  программное управление первого игрока:

$$l' B^2(t) \bar{u}(t) = \min_{p \in P^2} l' B^2(t) p, \quad t \in [t_i, t_j]$$

Символ  $y^2(\cdot)$  будет означать движение  $y^2(\cdot; t_i, x, \bar{u}(\cdot), \bar{v}(\cdot))$  системы (I.2) в силу управлений  $\bar{u}(\cdot)$ ,  $\bar{v}(\cdot)$  из позиции  $(t_i, x)$ , где точка  $x$  произвольна, но фиксирована. Имеем

$$\begin{aligned} \eta(l, t_e) &= \rho(l, W(t_{e+1})) + \alpha [\rho(l, -B^2(t_e) P^2) - \rho(l, C^2(t_e) Q)] = \\ &= \rho(l, W(t_{e+1})) - l' \int_{t_e}^{t_{e+1}} (B^2(\tau) \bar{u}(\tau) + C^2(\tau) \bar{v}(\tau)) d\tau = \\ &= \rho(l, W(t_{e+1})) - l' y^2(t_{e+1}) + l' y^2(t_e), \quad e = \overline{i, j-1} \end{aligned}$$

Отсюда, учитывая определение  $d^*(l, t_e)$ , получаем

5756-85

$$\begin{aligned}
 d(t_{e+1}, l, y^2(t_{e+1})) &= \rho(l, W(t_{e+1})) - l'y^2(t_{e+1}) = \\
 &= \eta(l, t_e) - l'y^2(t_e) = d^*(l, t_e) + \rho(l, W(t_e)) - l'y^2(t_e) = \\
 &= d^*(l, t_e) + d(t_e, l, y^2(t_e)), \quad e = \overline{i, j-1} \quad (5.19)
 \end{aligned}$$

Осуществляя в (5.19) последовательную подстановку при  $e = j-1, j-2, \dots, i$  и применяя одновременно лемму 5.1, приходим к цепочке неравенств

$$\begin{aligned}
 d(t_j, l, y^2(t_j)) &= d(t_{j-1}, l, y^2(t_{j-1})) + d^*(l, t_{j-1}), \\
 d(t_j, l, y^2(t_j)) &\leq d(t_{j-2}, l, y^2(t_{j-2})) + 2d^*(l, t_{j-2}) + \sigma^* \varepsilon^2, \\
 d(t_j, l, y^2(t_j)) &\leq d(t_{j-3}, l, y^2(t_{j-3})) + 3d^*(l, t_{j-3}) + 2\sigma^* \varepsilon^2 + \sigma^* \varepsilon^2, \\
 &\dots
 \end{aligned}$$

$$\begin{aligned}
 d(t_j, l, y^2(t_j)) &\leq d(t_i, l, y^2(t_i)) + (j-i)d^*(l, t_i) + \\
 &\quad + [(j-i-1) + (j-i-2) + \dots + 2 + 1] \sigma^* \varepsilon^2
 \end{aligned}$$

Так как  $l$  - нормаль многогранника  $W(t_i)$ , то величина  $d^*(l, t_i)$  равна нулю. Поэтому

$$d(t_j, l, y^2(t_j)) \leq d(t_i, l, y^2(t_i)) + \frac{(j-i)(j-i-1)}{2} \sigma^* \varepsilon^2$$

Учитывая, что  $(j-i)\varepsilon = t_j - t_i$ , получаем неравенство

5756-85

$$d(t_j, l, y^2(t_j)) \leq d(t_i, l, y^2(t_i)) + \frac{\sigma^*}{2} (t_j - t_i)^2$$

которое эквивалентно (5.18).

Пусть  $q \in Q(l, t_i)$ . Используя (5.18), запишем соотношение

$$\begin{aligned} & \rho(l, W(t_i)) + \min_{u(\cdot) \in \mathcal{U}^2} l' \int_{t_i}^{t_j} (B^2(\tau)u(\tau) + C^2(\tau)q) d\tau = \\ & = \rho(l, W(t_i)) + \min_{u(\cdot) \in \mathcal{U}^2} l' \int_{t_i}^{t_j} (B^2(\tau)u(\tau) + C^2(\tau)\bar{v}(\tau)) d\tau + l' \int_{t_i}^{t_j} C^2(\tau)(q - \bar{v}(\tau)) d\tau \geq \\ & \geq \rho(l, W(t_j)) - \frac{\sigma^*}{2} (t_j - t_i)^2 + \int_{t_i}^{t_j} l' C^2(\tau)(q - \bar{v}(\tau)) d\tau \end{aligned}$$

5756-85

Поскольку

$$\begin{aligned} & \int_{t_i}^{t_j} l' C^2(\tau)(q - \bar{v}(\tau)) d\tau = \\ & = \int_{t_i}^{t_j} l'(C^2(\tau) - C^2(t_i))(q - \bar{v}(\tau)) d\tau + \int_{t_i}^{t_j} l' C^2(t_i)(q - \bar{v}(\tau)) d\tau \geq \\ & \geq - \left| \int_{t_i}^{t_j} l'(C^2(\tau) - C^2(t_i))(q - \bar{v}(\tau)) d\tau \right| \geq -2l' \nu (t_j - t_i)^2 \end{aligned}$$



то тем самым неравенство (5.17) доказано.

§ 6. Гарантия второго игрока при использовании  
основного алгоритма. Алгоритм с коррекцией

При фиксированном параметре  $c$  основной алгоритм обеспечивает удержание фазового вектора  $y^1(t_e)$  системы (I.I) в любой момент  $t_e$  вблизи множества  $R^n \setminus \text{int } W_c(t_e)$ . Это видно из оценки (3.1), (3.2). Сделаем некоторые дополнительные выводы из этих оценок. Для определенности будем говорить об оценке (3.2). Положим

$$d_c(t, l, x) = \rho(l, W_c(t)) - l'x$$

Из оценки (3.2) для момента  $\vartheta^1$  получаем

$$d_c(\vartheta^1, l(\vartheta^1), y^1(\vartheta^1)) \leq \leq \max\left\{\frac{2\delta}{\mu} + 2\delta, d_c(t_*, l_*, y^1(t_*))\right\} + \sigma_1 T \Delta + \sigma_2 T \sqrt{\mu} + \varepsilon(t_*, \vartheta^1) \quad (6.1)$$

Таким образом, расстояние от точки  $y^1(\vartheta^1)$  до множества  $R^n \setminus \text{int } W_c(\vartheta^1) = \{x \in R^n : \rho^2(x) \geq c\}$  не превышает величины, стоящей в правой части неравенства (6.1). Пусть  $\zeta$  - константа Липшица функции  $\rho^2$ ,  $\mathcal{E}$  - компактное множество, оценивающее сверху возможные положения  $y^1(\vartheta^1)$ ,

$\|y^1 - y^2\|_{\mathcal{E}} = \max_{x \in \mathcal{E}} |y^1(x) - y^2(x)|$ . Символом  $F$  обозначим правую часть (6.1). Имеем

$$\rho^1(y^1(\vartheta^1)) \geq c - \zeta F - \|y^1 - y^2\|_{\mathcal{E}} \quad (6.2)$$

Неравенство (6.2) характеризует гарантию второго игрока в игре (I.I), когда он использует основной алгоритм. Второе и третье слагаемые в правой части (6.2) малы, если обеспечена

5756-85

достаточная близость исходной и аппроксимирующих игр, если малы шаг  $\Delta$  и начальное расстояние  $d_c(t_*, l_*, y'(t_*))$ , величины  $\alpha$  и  $\mu$  (параметр  $\mu$  можно выбирать по заданному  $\alpha$ , например,  $\mu = \sqrt{\alpha}$ ). Гарантия второго игрока при этом будет близка к числу  $c$ . Выбираемое нами число  $c$  в определенных случаях можно рассматривать как приближенное значение цены  $\Gamma^1(t_*, y'(t_*))$  игры (I.I) в позиции  $(t_*, y'(t_*))$ . Если  $c$  близко к  $\Gamma^1(t_*, y'(t_*))$ , то гарантия второго игрока близка к оптимальной.

Опишем алгоритм с коррекцией, использующий информацию, снятую с многогранников

$$W_{c_m}(t_e), \quad e=0, 1, 2, \dots; \quad m=1, 2, \dots$$

Здесь индексы  $e$  и  $m$  пробегает конечные наборы значений,  $c_m \in [c_*, c^*]$  при любом  $m$ . Будем считать, что значения параметра  $c$  упорядочены:  $c_1 < c_2 < \dots < c_m < c_{m+1} < \dots$ .

Для упрощения обозначений в этом параграфе везде вместо индекса  $c_m$  условимся писать индекс  $m$ . Например,  $W_m(t_e)$  вместо  $W_{c_m}(t_e)$ . Напомним, что информация, которую мы имеем в любой момент  $t_e$ , состоит из описания плохих конусов и значений опорных функций  $\rho(l, W_m(t_e))$  на образующих этих конусов. Как и ранее, будем считать, что начальный момент  $t_*$  совпадает с одним из моментов  $t_e$ , шаг  $\Delta$  дискретной схемы управления второго игрока кратен  $\alpha$ , а  $t_k, k=0, 1, 2, \dots; t_0 = t_*$ , - моменты выбора управления. Пусть  $N_m(t_e) = N(W_m(t_e)) \cap A_m(t_e)$  - набор образующих плохих ко-

58-2575

нусов, соответствующий моменту  $t_e$  и параметру  $c = c_m$ .

Алгоритм с коррекцией опишем для случая, когда его основой является алгоритм в), ориентированный на неточные замеры  $z^1(\tau_k)$ . Для алгоритма с коррекцией, в основе которого лежит алгоритм а), все написанное остается в силе: следует лишь символ  $z^1$  заменить на  $y^1$ .

Общая схема такова. В момент  $\tau_0 = t_*$ , используя начальный замер  $z^1(t_*)$ , мы каким-либо способом фиксируем некоторое значение  $c_{m_1}$  параметра  $c$ , начальный вектор  $l_*$  и формируем управление второго игрока по алгоритму в) на промежутке  $[t_*, \tau_{k_1})$ , где  $\tau_{k_1} > t_*$  - момент первой коррекции. Коррекция в момент  $\tau_{k_1}$  заключается в перенастройке алгоритма в) на новое значение  $c_{m_2} \geq c_{m_1}$  параметра  $c$ . При этом меняется и текущий вектор  $l(\tau_{k_1})$ . Управление по алгоритму в) при фиксированном значении  $c_{m_2}$  параметра  $c$  осуществляем на промежутке  $[\tau_{k_1}, \tau_{k_2})$ , где  $\tau_{k_2}$  - момент второй коррекции и т.д.

Выбор значения  $c_{m_1}$ , начального вектора  $l_*$ , моментов коррекции  $\{\tau_{k_i}\}$  и сама коррекция в моменты  $\tau_{k_i}$  могут быть определены различными способами. Опишем некоторые из возможных вариантов.

Моменты коррекции могут задаваться при помощи шага коррекции  $\delta$ , кратного шагу  $\Delta$ :  $\tau_{k_i} = \tau_0 + i\delta, i=1,2,\dots$ . В этом случае все моменты коррекции известны заранее. Другим способом момент коррекции  $\tau_{k_i}$  можно определить как первый момент, в который текущий вектор  $l(\tau_k), \tau_k > \tau_{k_{i-1}}$ , попадает в множество  $\Lambda_{m_i}(\tau_k)$ .

Предположим, что начальный момент  $t_*$  в задаче всегда один и тот же. В этом случае естественно для момента  $t_*$  (и только для этого момента) сохранить целиком всю информацию о

5756-85

многогранниках  $W_m(t_*)$ ,  $m = 1, 2, \dots$ . Начальное значение  $c_{m_1}$  и начальный вектор  $l_*$  определим по формулам:

$$m_1 = \max\{m: \min_{l \in N(W_m(t_*))} d_m(t_*, l, z^1(t_*)) \leq 0\}$$

при  $z^1(t_*) \notin W_1(t_*)$  и  $m_1 = 1$  при  $z^1(t_*) \in W_1(t_*)$ ,

$$l_* = \arg \min_{l \in N(W_{m_1}(t_*))} d_{m_1}(t_*, l, z^1(t_*))$$

Выбор  $m_1$  и  $l_*$  поясняется для  $n=2$  на рис. 9.

В момент коррекции  $\tau_{k_i}$  имеем замер  $z^1(\tau_{k_i})$ , текущий вектор  $l(\tau_{k_i})$ , значение  $c_{m_i}$ . Если

$$\min_{l \in N_m(\tau_{k_i})} d_m(\tau_{k_i}, l, z^1(\tau_{k_i})) > 0$$

при любом  $m > m_i$ , то уровень  $c = c_{m_i}$  не меняем, положив  $c_{m_{i+1}} = c_{m_i}$ , и выполняем далее все действия, предусмотренные алгоритмом в). В противном случае новое значение  $c_{m_{i+1}}$  и новый текущий вектор  $l(\tau_{k_{i+1}})$  выберем при помощи формул

$$m_{i+1} = \max\{m: m > m_i, \min_{l \in N_m(\tau_{k_i})} d_m(\tau_{k_i}, l, z^1(\tau_{k_i})) \leq 0\} \quad (6.1)$$

$$l(\tau_{k_{i+1}}) = \arg \min_{l \in N_{m_{i+1}}(\tau_{k_i})} d_{m_{i+1}}(\tau_{k_i}, l, z^1(\tau_{k_i})) \quad (6.2)$$

Продолжаем работу по алгоритму в) при  $c = c_{m_{i+1}}$  до следующего момента коррекции  $\tau_{k_{i+1}}$ .

Пусть начальный момент  $t_*$  не является постоянным. На-

58-2575

начальное значение  $c_{m_1}$  параметра  $c$  и начальный вектор  $l_*$  в этом случае определим по формулам:

$$m_1 = \max \left\{ m : \min_{l \in W_m^A(t_*)} d_m(t_*, l, z^1(t_*)) \leq 0 \right\} \quad (6.3)$$

если множество в фигурной скобке не пусто,  $m_1 = 1$ , когда оно пусто,

$$l_* = \arg \min_{l \in W_{m_1}^A(t_*)} d_{m_1}(t_*, l, z^1(t_*)) \quad (6.4)$$

Формула (6.3) отличается от (6.1) лишь тем, что максимум берется по всем  $m = 1, 2, \dots$ . Формула (6.4) аналогична формуле (6.2). Выбор числа  $m_1$  и вектора  $l_*$  для  $n = 2$  в разбираемом случае поясняется на рис. 10. Множества  $W_m(t_*)$  показаны пунктиром.

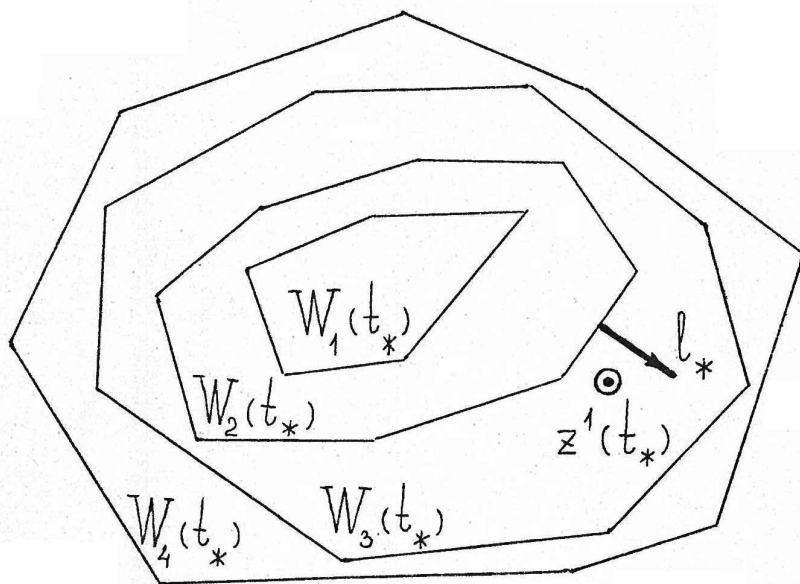
### § 7. Управление по поверхности переключения

В работах [3, 4, 7] для случая скалярного управления первого игрока предложен способ построения оптимальной стратегии первого игрока при помощи поверхности переключения.

Именно, рассматривался частный случай исходной системы, когда множество  $P^1 = [-\mu, \mu]$  — отрезок на прямой. Поверхность переключения строилась с привлечением аппроксимирующей задачи, в которой полагалось  $P^2 = P^1$ . Поверхность разбивает пространство игры на две части. В одной из них следует выбрать управление  $u = \mu$ , в другой  $u = -\mu$ . На самой поверхности выбираемое управление может быть любым из отрезка

$[-\mu, \mu]$ . При достаточной близости исходной и аппроксимирующей систем, а также при хорошей точности построения поверхности переключения, гарантированный результат первого игрока в ли-

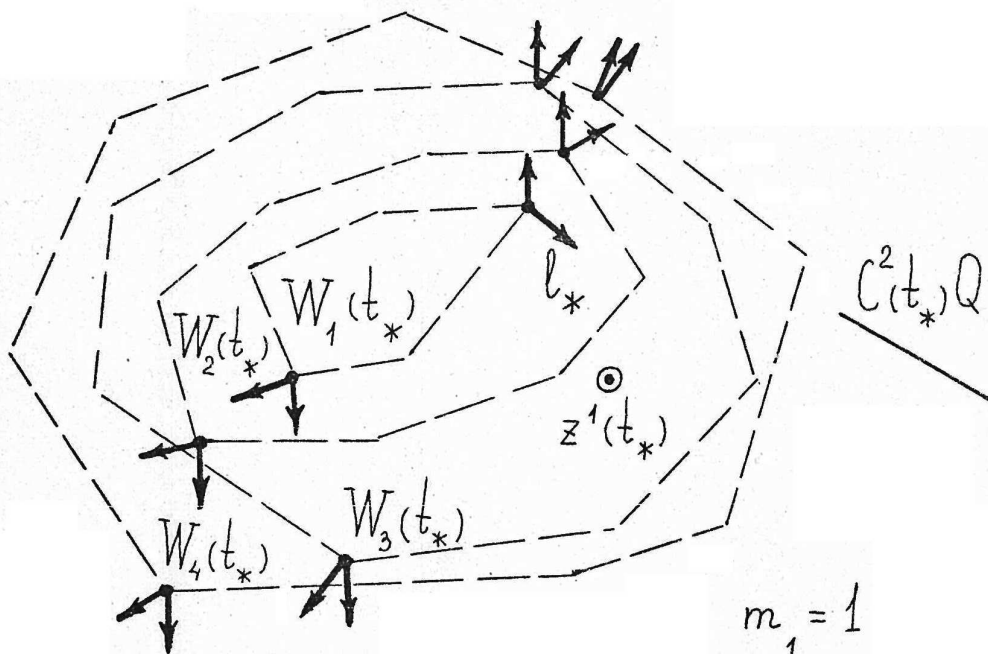
5756-85



$$m_1 = 2$$

Рис. 9 (n=2)

5756-85



$$m_1 = 1$$

Рис. 10 (n=2)

нейной игре с выпуклой терминальной платой близок к оптимальному и в пределе переходит в оптимальный. Способ управления устойчив по отношению к погрешностям измерения состояния системы, погрешностям построения поверхности переключения и т. д. Практически нужно строить не всю поверхность переключения, а лишь ее сечения для моментов, в которые в дискретной схеме происходит выбор управляющего воздействия. В случае  $n=2$ , например, эти сечения есть линии и, таким образом, для каждого момента выбора управления следует задать свою линию переключения.

В этом параграфе рассмотрим случай скалярного управления второго игрока. Будем считать, что  $Q = [-\nu, \nu]$  — отрезок на прямой. Определим и обсудим способ управления второго игрока при помощи поверхности переключения.

58-9575  
Поверхность переключения  $\Pi$ , а точнее ее сечения  $\Pi(t_e)$  для моментов  $t_e$  будут определены в терминах аппроксимирующей задачи (I.2). В отличие от предыдущих параграфов условимся считать, что  $W_c(t_e)$  есть точно построенные сечения максимального  $u$ -стабильного моста для игры (I.2). Сечения  $\Pi(t_e)$  получаются в результате обработки множеств  $W_c(t_e)$ , при этом параметр  $c$  пробегает все значения в промежутке  $[c_*, c^*]$ .

Принципиальное отличие при формировании управления второго игрока на основе поверхности переключения от случая первого игрока состоит в том, что на самой поверхности допускаются выбирать любое из крайних значений  $\pm \nu$ , но нельзя брать промежуточные.

Будет показано, что при управлении в условиях точного замера состояний  $y^1(\tau_k)$  для второго игрока гарантируется

результат, близкий к оптимальному. Наличие же хотя бы и не - больших неточностей в построении поверхности переключения или неточностей в определении состояния системы может существенно ухудшить результат для второго игрока. Такой факт неустойчивости подтверждается численным экспериментом, описанном в § 8. Разрушение схемы управления происходит именно потому, что при попадании на поверхность переключения нельзя выбирать промежуточные значения управляющего воздействия между  $-\nu$  и  $\nu$ . При наличии же погрешностей может возникнуть скольжение по поверхности и вдоль такого движения "в среднем" реализуются промежуточные значения между  $-\nu$  и  $\nu$ , что и приводит к падению цены игры вдоль движения.

Таким образом, в отличие от случая первого игрока, способ управления второго игрока по поверхности переключения дает желаемый результат только в "идеале" и в практических вычислениях может применяться лишь с большой осторожностью в силу своей неустойчивости. На примерах § 8 дается сравнение способа управления по поверхности переключения со способом, предлагаемым в настоящей работе.

Итак, пусть  $Q = [-\nu, \nu]$  - отрезок на прямой и  $C^2(t)$  при любом  $t$  - вектор из  $R^n$ . Предположим, что для каждого  $c \geq c_*$  многогранники  $W_c(t_e)$ ,  $e = 0, 1, 2, \dots$ , есть сечения максимального  $\mu$ -стабильного моста в игре (I.2), обрывающегося в момент  $\mathcal{Y}$  на множестве  $M_c^2 = \{x \in R^n : \mu^2(x) \leq c\}$ . Другими словами,  $W_c(t_e)$  - множество уровня  $\{x \in R^n : \Gamma^2(t_e, x) \leq c\}$  функции цены  $\Gamma^2$  игры (I.2) для момента  $t = t_e$ . Считаем, что для многогранников  $W_c(t_e)$  выполнено условие 3. Символом  $\zeta$  обозначим константу Липшица функции  $\mu^2$ . Функция  $\Gamma^2(t_e, \cdot)$  липшицева с

5756-85



этой же константой  $\zeta$  [8].

При фиксированном  $t = t_e$  для любого  $x \notin \text{int } W_{c_*}(t_e)$  существует единственный многогранник  $W_c(t_e)$ , на границе которого лежит точка  $x$ . А именно, таким многогранником является многогранник с индексом  $c = \Gamma^2(t_e, x)$ . Пусть  $N^*(t_e, x)$  - совокупность всех единичных внешних нормалей к содержащим точку  $x$  граням размерности  $n-1$  многогранника  $W_{\Gamma^2(t_e, x)}(t_e)$ . При любом  $c \geq c_*$  через  $\mathcal{X}_c(t_e)$  обозначим множество всех  $x$  на границе многогранника  $W_c(t_e)$ , для каждого из которых среди нормалей совокупности  $N^*(t_e, x)$  имеются как нормали  $l$ , удовлетворяющие соотношению

$$l = \arg \max_{q \in Q} l'(C^2(t_e))q$$

так и нормали, удовлетворяющие соотношению

$$-l = \arg \max_{q \in Q} l'(C^2(t_e))q$$

На рис. II для  $n=2$  показаны многоугольник  $W_c(t_e)$  и вектор  $C^2(t_e)$ . Соответствующее им множество  $\mathcal{X}_c(t_e)$  состоит из отрезка и точки.

Как и ранее, помимо числа  $c_*$  считаем заданным  $c^* > c_*$ . В случае  $C^2(t_e) \neq 0$  пусть  $E(t_e)$  - совокупность всех  $x \in R^n$ , для каждого из которых существует  $\lambda \in R$  такое, что  $x + \lambda C^2(t_e) \in W_{c^*}(t_e)$ . В случае  $C^2(t_e) = 0$  положим  $E(t_e) = R^n$ . При  $n=2$  и  $C^2(t_e) \neq 0$  множество  $E(t_e)$  - полоса из прямых, параллельных вектору  $C^2(t_e)$  и проходящих через  $W_{c^*}(t_e)$  (рис. I2).

Для любого момента  $t_e$  положим

5756-85

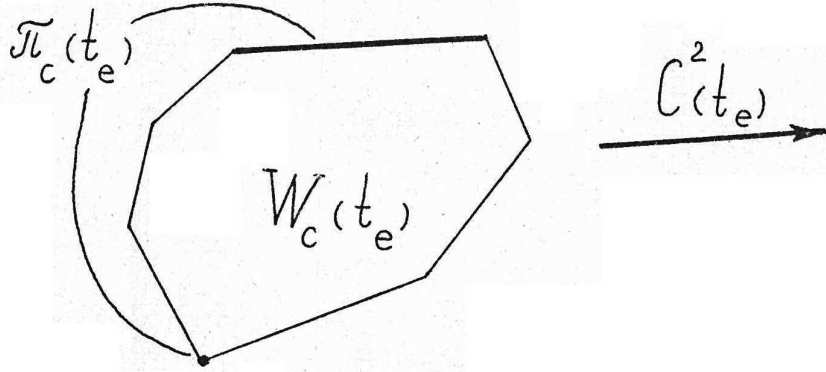


Рис. 11 (n=2)

5756-85

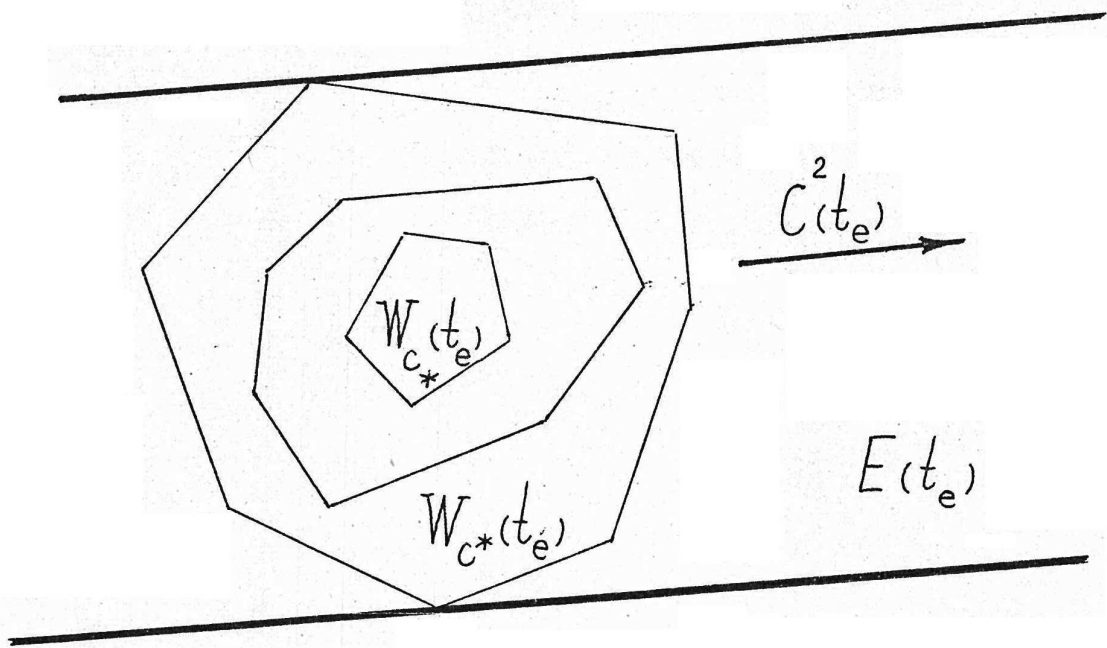


Рис. 12 (n=2)

$$\Pi(t_e) = \begin{cases} \left( \bigcup_{c \in (c_*, c^*]} \pi_c(t_e) \right) U W_{c^*}^*(t_e), & C^2(t_e) \neq 0, \\ E(t_e) & , C^2(t_e) = 0 \end{cases} \quad (7.1)$$

$$\Pi_1(t_e) = \{x \in E(t_e) : x + \lambda C^2(t_e) \notin \Pi(t_e), \forall \lambda \geq 0\}, \quad (7.2)$$

$$\Pi_2(t_e) = \{x \in E(t_e) : x + \lambda C^2(t_e) \notin \Pi(t_e), \forall \lambda \leq 0\} \quad (7.3)$$

Введенные множества для  $n=2$  поясняются на рис.13.

Нетрудно видеть, что при любом  $x \in \Pi_1(t_e)$  ( $x \in \Pi_2(t_e)$ ) для всех  $l \in N^*(t_e, x)$  имеет место неравенство  $l' C^2(t_e) > 0$  ( $l' C^2(t_e) < 0$ ).

Определим многозначное отображение

$$V(t_e, x) = \begin{cases} \nu, & x \in \Pi_1(t_e), \\ -\nu, & x \in \Pi_2(t_e), \\ \{-\nu, \nu\}, & x \in \Pi(t_e) \end{cases}$$

$$x \in E(t_e), \quad e = 0, 1, 2, \dots$$

Пусть  $V(t_e, x)$  - однозначная выборка из  $V(t_e, x)$

Предположим, что второй игрок использует в системе (I.I) стратегию  $V$  в дискретной схеме управления с шагом  $\Delta$ . Зафиксируем начальную позицию  $(t_*, y^1(t_*))$ , функцию  $u(\cdot) \in \mathcal{U}^1$ . Как и ранее, считаем  $t_*$  совпадающим с одним из моментов  $t_e$ , шаг  $\Delta$  кратен шагу  $\varepsilon$ . Пусть  $y^1(\cdot)$  -

5756-85

5756-85

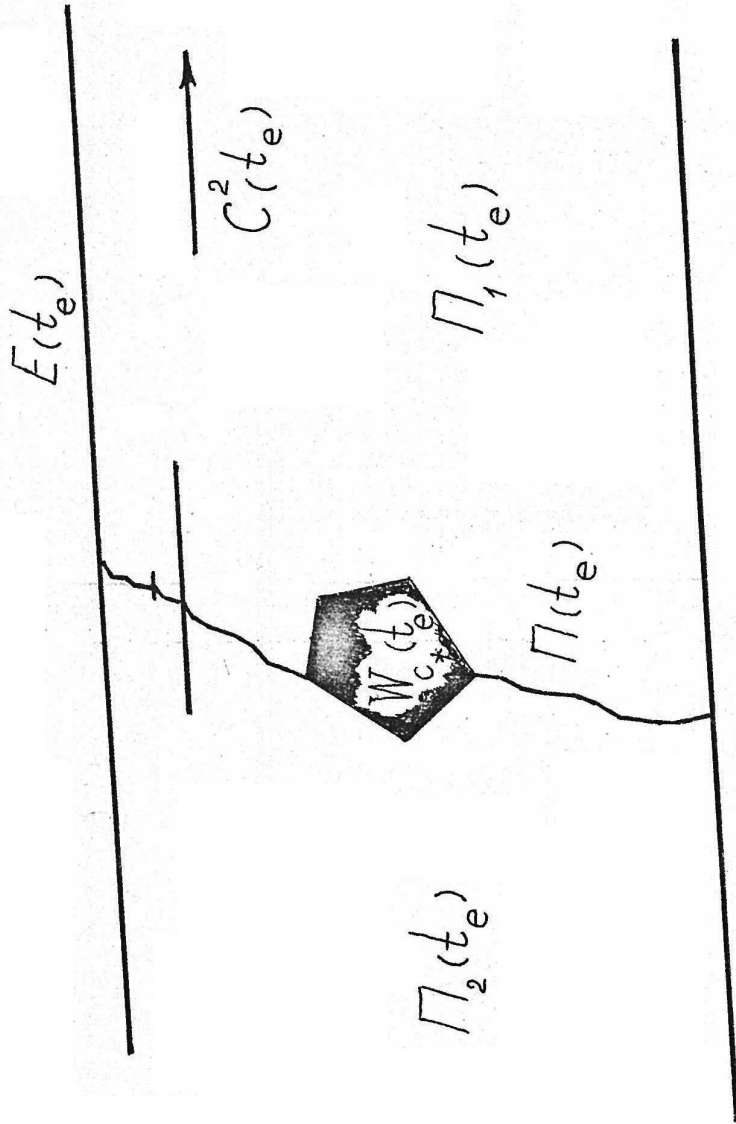


Рис. 13 (n=2)

движение системы (I.I). Условимся, что в любой момент  $\tau_k = t_* + k\Delta$ ,  $k=0, 1, 2, \dots$ , состояние  $y^1(\tau_k)$  замеряется точно и принадлежит множеству  $E(\tau_k) \setminus W_{c^*}(\tau_k)$ . Оценим изменение функции  $\Gamma^2$  вдоль движения  $y^1(\cdot)$ .

Выберем произвольный момент  $\tau_k$  и пусть  $t_e \in (\tau_k, \tau_k + \Delta]$ ,  $t_e \in \mathcal{U}$ . Докажем справедливость оценки

$$\Gamma^2(t_e, y^1(t_e)) \geq \Gamma^2(\tau_k, y^1(\tau_k)) - \zeta \delta (t_e - \tau_k)^2 - \zeta \varepsilon(\tau_k, t_e) \quad (7.4)$$

Пусть  $y^1(\tau_k) \in \Pi_1(\tau_k)$  ( $y^1(\tau_k) \in \Pi_2(\tau_k)$ ). Зафиксируем любой вектор  $l$  из совокупности  $N^*(\tau_k, y^1(\tau_k))$ . Поскольку  $l'c^2(\tau_k) > 0$  ( $l'c^2(\tau_k) < 0$ ), то

$$V(\tau_k, y^1(\tau_k)) = \nu = \arg \max_{q \in Q} l'c^2(\tau_k)q$$

$$(V(\tau_k, y^1(\tau_k)) = -\nu) = \arg \max_{q \in Q} l'c^2(\tau_k)q$$

Пусть  $y^1(\tau_k) \in \Pi(\tau_k) \setminus W_{c^*}(\tau_k)$ . Тогда для любого из крайних значений  $-\nu, \nu$  отрезка  $Q$  найдется нормаль  $l \in N^*(t_e, y^1(\tau_k))$ , на которой выбранное значение является экстремальным, т.е. мы можем подобрать нормаль  $l$  так, что

$$V(\tau_k, y^1(\tau_k)) = \arg \max_{q \in Q} l'c^2(\tau_k)q$$

Таким образом, по состоянию  $y^1(\tau_k) \in E(\tau_k) \setminus W_{c^*}(\tau_k)$  можно подобрать нормаль  $\bar{l}$  к многограннику  $W_{\bar{c}}(\tau_k)$ ,  $\bar{c} = \Gamma^2(\tau_k, y^1(\tau_k))$ , в точке  $y^1(\tau_k)$ , на которой управляю -

57.56-8

щее воздействие  $V(\tau_k, y^1(\tau_k))$  является экстремальным. Такой факт позволяет воспользоваться условием 3.

Пусть  $u_k(\cdot)$  - программное управление первого игрока на промежутке  $[\tau_k, t_e)$ , удовлетворяющее условию

$$\bar{l}' B^2(t) u_k(t) = \min_{p \in P_2} \bar{l}' B^2(t) p$$

Положим для краткости  $\bar{q} = V(\tau_k, y^1(\tau_k))$  и  $y^2(t_e) = y^2(t_e; \tau_k, y^1(\tau_k), u_k(\cdot), \bar{q})$ . В силу условия 3 получим

$$d_{\bar{c}}(t_e, \bar{l}, y^2(t_e)) \leq \sigma(t_e - \tau_k)^2 \quad (7.5)$$

или

$$d_{\bar{c}}(t_e, \bar{l}, y^1(t_e)) \leq \sigma(t_e - \tau_k)^2 + \varepsilon(\tau_k, t_e) \quad (7.6)$$

Переход от (7.5) к (7.6) аналогичен переходу от неравенства (4.25) к (4.2I). Неравенство (7.6) означает, что расстояние от точки  $y^1(t_e)$  до множества

$$\{x \in R^n : \Gamma^2(t_e, x) \geq \bar{c}\} = R^n \setminus \text{int} W_{\bar{c}}(t_e)$$

не превосходит величины  $\sigma(t_e - \tau_k)^2 + \varepsilon(\tau_k, t_e)$ . Используя условие Липшица для функции  $\Gamma^2(t_e, \cdot)$ , придем к неравенству (7.4).

Пусть  $t_i$  - произвольный момент разбиения  $\omega$ , принадлежащий промежутку  $[t_*, \vartheta]$ . В силу (7.4) получаем

$$\Gamma^2(t_i, y^1(t_i)) \geq \Gamma^2(t_*, y^1(t_*)) - \zeta \sigma(t_i - t_*) \Delta - \zeta \varepsilon(t_*, t_i)$$

В частности,

$$\Gamma^2(\vartheta, y^1(\vartheta)) \geq \Gamma^2(t_*, y^1(t_*)) - \zeta \sigma T \Delta - \zeta \varepsilon(t_*, \vartheta) \quad (7.7)$$

5756-85

Если начальные состояния  $y^1(t_*)$  берутся из некоторого компакта  $\mathcal{E}_*$ , то конечные состояния  $y^1(\vartheta)$  принадлежат некоторому компактному  $\mathcal{E}$ . Поскольку  $\Gamma^2(t_*, y^1(t_*)) = J^2(y^1(\vartheta))$ , из неравенства (7.7) следует

$$J^1(y^1(\vartheta)) \geq \Gamma^2(t_*, y^1(t_*)) - \zeta \sigma T \Delta - \zeta \varepsilon(t_*, \vartheta) - \|J^1 - J^2\|_{\mathcal{E}} \quad (7.8)$$

При достаточно хорошей аппроксимации игры (I.1) игрой (I.2) величины  $\varepsilon(t_*, \vartheta)$ ,  $\|J^1 - J^2\|_{\mathcal{E}}$  малы, а величина  $\Gamma^2(t_*, y^1(t_*))$  близка к величине  $\Gamma^1(t_*, y^1(t_*))$  - цене игры (I.1) в позиции  $(t_*, y^1(t_*))$ . Оценка (7.8) показывает, таким образом, что стратегия  $V$  обеспечивает второму игроку результат, близкий к оптимальному.

Отметим еще раз допущения, использованные при доказательстве оценки (7.8): стратегия  $V$  определена на основе точных построений множеств  $\Pi(t_e), \Pi_1(t_e), \Pi_2(t_e), e=0,1,2,\dots$ ; состояния  $y^1(\tau_k)$  замеряются точно; при любом  $k$  состояние  $y^1(\tau_k)$  принадлежит множеству  $E(\tau_k) \setminus W_{c_*}(\tau_k)$ .

Последнее условие обеспечивается выбором чисел  $c_*, c^*$  и соответствующим заданием множества  $\mathcal{E}_*$  начальных состояний. Первые два условия являются существенными.

Стратегия  $V$  не зависит от конкретной начальной позиции, но зато зависит от выбора аппроксимирующей системы (I.2). Стратегия  $V$  есть выборка из многозначной функции  $V$ . Последняя определяется при помощи множеств  $\Pi(t_e), \Pi_1(t_e), \Pi_2(t_e)$ . В множествах  $\Pi_1(t_e), \Pi_2(t_e)$  значения  $V(t_e, x)$ , а значит и  $V(t_e, x)$ , не зависят от  $x$  и равны соответственно  $\nu$  и  $-\nu$ . Множество  $\Pi(t_e)$  играет роль

5756-85

множества, разделяющего  $\Pi_1(t_e)$  и  $\Pi_2(t_e)$ . Поэтому мы и называем (используя терминологию задач управления) набор множеств  $\Pi(t_e)$ ,  $e=0, 1, 2, \dots$ , поверхностью переключения второго игрока, а каждое из множеств  $\Pi(t_e)$  сечением поверхности переключения.

§ 8. Примеры

Рассмотрим два примера, на которых продемонстрируем работоспособность стратегии второго игрока, описанной в параграфах 3, 6. На этих примерах будет также экспериментально подтвержден факт неустойчивости стратегии второго игрока, опирающейся на поверхность переключения. Излагаемые в этом параграфе результаты численного эксперимента получены на машине БЭСМ-6. Результаты счета округлены до второго знака после запятой.

Пример I. Пусть дифференциальная игра второго порядка описывается соотношениями

$$\begin{aligned} \dot{\xi}_1 &= \xi_2 + v & |u| \leq 1, \quad |v| \leq 1 \\ \dot{\xi}_2 &= u & T = [0, 6], \quad J(\xi) = |\xi| \end{aligned} \quad (8.1)$$

Здесь  $\xi_1, \xi_2$  - координаты фазового вектора  $\xi$ ,  $T$  - промежуток времени игры,  $J$  - функция платы. Значения платы в момент окончания  $T = 6$  минимизирует первый игрок и максимизирует второй.

При помощи замены  $y(t) = X(6-t)\xi(t)$ , где

$$X(6-t) = \begin{pmatrix} 1 & 6-t \\ 0 & 1 \end{pmatrix}$$

фундаментальная матрица Коши однородной системы

58-9575



$$\begin{aligned} \dot{\xi}_1 &= \xi_2 \\ \dot{\xi}_2 &= 0 \end{aligned}$$

игра (8.1) сводится к эквивалентной игре

$$\begin{aligned} \dot{y}_1 &= (6-t)u + v & |u| \leq 1, & |v| \leq 1 \\ \dot{y}_2 &= u & T = [0, 6], & \gamma^1 = \gamma^* \end{aligned} \quad (8.2)$$

имеющей вид (I.I).

Определим аппроксимирующую игру. Положим

$$\varepsilon = 0.01; \quad t_e = 0.01e, \quad e = \overline{0, 600};$$

$$B^2(t) = B^1(t_e) = \begin{pmatrix} 6-t_e \\ 1 \end{pmatrix}, \quad t \in [t_e, t_{e+1}); \quad C^2(t) = \begin{pmatrix} 1 \\ 0 \end{pmatrix}$$

Обозначим через  $M^2$  правильный 100-угольник, вписанный в круг единичного радиуса с центром в начале координат. Пусть  $\gamma^2(x) = \min\{c \geq 0 : x \in cM^2\}$ ,  $x \in R^2$ .

Зафиксируем конечный набор  $c_m = 1.1 + 0.1m$ ,  $m = \overline{0, 9}$ , значений параметра  $c$ . Для каждого значения  $c_m$  при помощи попятной конструкции построим сечения  $W_{c_m}(t_e)$  максимального  $u$ -стабильного моста  $W_{c_m}$  в аппроксимирующей игре. Обработывая полученную совокупность сечений, зададим поверхности переключения игроков, а также наборы плохих конусов и соответствующих точек для стратегии с коррекцией второго игрока.

Поверхности переключения представляют собой набор линий переключения для моментов  $t_e$ . Алгоритм построения линий пе -

5756-85

реключения подробно описан в [4,7]. Стратегии первого и второго игроков, основанные на численно построенных поверхностях переключения, обозначим  $U_*$ ,  $V_*$ . Стратегия  $U_*$  является численной реализацией оптимальной (в ограниченной области) и устойчивой по отношению к возмущениям стратегии первого игрока в игре (8.2). Стратегия  $V_*$  гарантирует второму игроку близкий к оптимальному результат лишь при отсутствии скольжения по поверхности переключения. Эффект возникновения скользящих режимов будет смоделирован при помощи датчика случайных чисел, задающего ошибку "замера" состояния системы (8.2).

Стратегию с коррекцией второго игрока обозначим  $V_0$ . В качестве моментов коррекции  $\tau_{k_i}$  брались моменты попадания текущего вектора  $l(\tau_{k_i})$  в множество  $\Lambda_{c_{m_i}}(\tau_{k_i})$  (см. § 6). Используемый при формировании стратегии  $V_0$  набор точек, снятый для каждого момента  $t_e$  с многоугольников  $W_{c_m}(t_e)$ ,  $m = \overline{0,9}$ , и соответствующий набору плохих конусов, совпадает с набором точек, задающим линию переключения для момента  $t_e$  в схеме реализации стратегии  $V_*$ .

Время работы программы, строящей совокупность многоугольников  $W_{c_m}(t_e)$  и обрабатывающей их, в целом составляет примерно 50 минут.

Помимо стратегии  $U_*$ , за первого игрока будет использована стратегия  $\tilde{U}$ , в которой управление первого игрока выбирается из условия прицеливания на начало координат.

Шаг дискретной схемы управления первого игрока во всех экспериментах равен 0.01. Управление первого игрока вырабатывается на основе точной информации о состоянии системы.

Зафиксируем начальную позицию  $t_* = 0$ ,  $y^1(t_*) = (4.43,$

5756-85

2.6I). Начальная позиция подобрана так, что точка  $y^1(t_*) = y^1(0)$  принадлежит границе многоугольника  $W_{1.7}(0)$ . Следовательно, цена  $\Gamma^2(t_*, y^1(t_*))$  аппроксимирующей игры равна 1.70. Поскольку шаг  $\varepsilon$  мал и функция платы  $\mu^2$  хорошо приближает функцию  $\mu^1$ , то можно считать, что в начальной позиции цена игры (8.2) также примерно равна 1.70. Начальный вектор  $l_*$  для стратегии  $V_0$  выберем как вектор внешней нормали к многоугольнику  $W_{1.7}(0)$  в точке  $y^1(0)$ .

Приведем результаты экспериментов.

а). Оба игрока применяют стратегии  $U_*$ ,  $V_*$  управления по поверхности переключения. Шаг  $\Delta$  дискретной схемы второго игрока равен 0.01. При этом в схему выбора управления в каждый момент  $\tau_k$  подается точное состояние  $y^1(\tau_k)$ . Значение платы в момент  $\tau = 6$  равно 1.70. Таким образом, значение платы на реализовавшемся движении совпадает с ценой игры в начальной позиции.

в). Игроки по-прежнему применяют стратегии  $U_*$ ,  $V_*$ , но в отличие от предыдущего случая в каждый момент  $\tau_k$  в схему управления второго игрока вместо вектора  $y^1(\tau_k)$  подается "замер"  $z^1(\tau_k) = y^1(\tau_k) + \beta(\tau_k)$ , где  $\beta(\tau_k)$ ,  $k=0, 1, 2, \dots$ , - случайные векторы, каждая координата которых не превосходит заданной величины  $\mathcal{L}$ , т.е.  $|\beta_1(\tau_k)| \leq \mathcal{L}$ ,  $|\beta_2(\tau_k)| \leq \mathcal{L}$ . Последовательности  $\{\beta_1(\tau_k)\}$ ,  $\{\beta_2(\tau_k)\}$  снимались с датчика случайных чисел, реализующего равномерное распределение на отрезке.

На рис.14 и в табл.1 приведены результаты для четырех пар значений  $\Delta$ ,  $\mathcal{L}$ . Для каждой пары было просчитано 200 движений при разных реализациях последовательностей  $\{\beta_1(\tau_k)\}$ ,  $\{\beta_2(\tau_k)\}$ . На рис.14 изображены четыре графика

5756-85

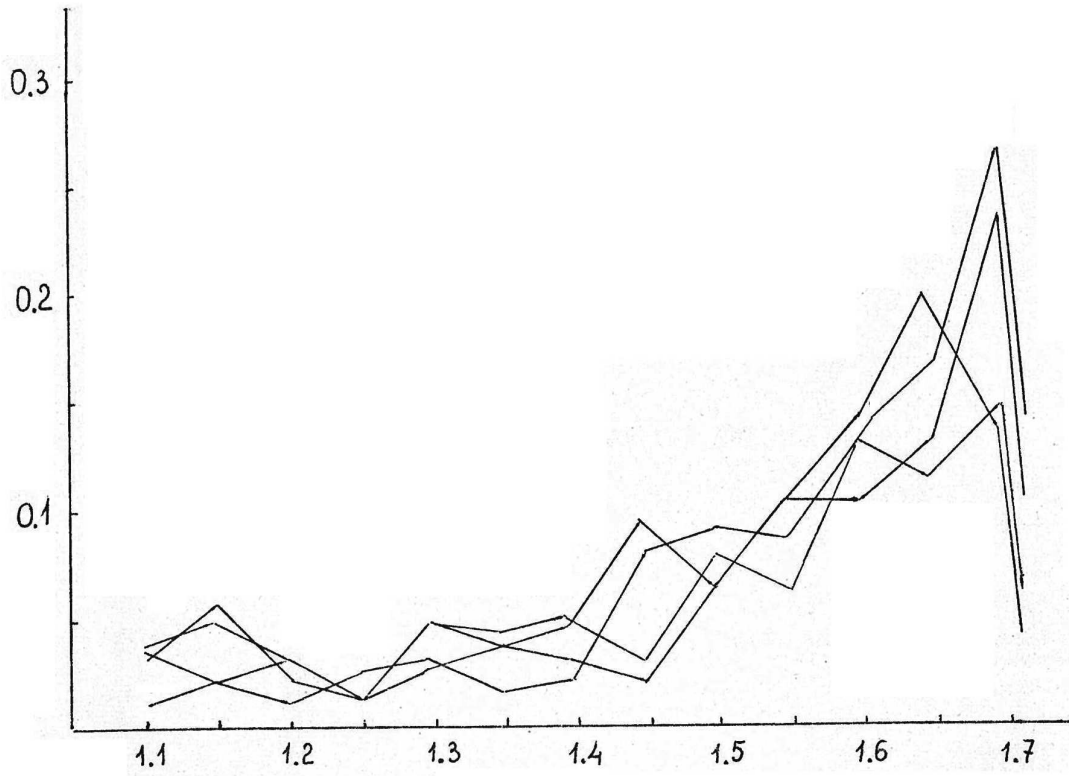


Рис. 14

$\Delta$	0.01	0.02	0.04	0.06
$\mathcal{L}$	0.09	0.11	0.12	0.13
$\gamma_{\text{ср.}}$	1.49	1.45	1.53	1.58

Табл. 1

5756-85

плотности случайной величины  $f^1(y^1(b)) = |y^1(b)|$ . Для всех движений  $f^1(y^1(b)) \leq 1.75$ . В каждой из четырех серий около 30 движений таковы, что  $f^1(y^1(b)) \leq 1.1$ . В третьей строке табл. I указаны средние значения платы в каждой серии (если величина  $f^1(y^1(b))$  для какого-либо движения была меньше 1.1, то при подсчете среднего значения она заменялась на 1.1). Видно, что для выбранных пар  $\Delta$ ,  $\mathcal{L}$  среднее значение платы мало меняется и меньше цены игры в начальной позиции. Приведенные результаты говорят о неустойчивости стратегии  $V_*$ .

с). Игроки применяют стратегии  $U_*$ ,  $V_0$ . Шаг  $\Delta$  и параметр  $\mathcal{L}$  равны соответственно 0.04 и 0.12. В схему управления второго игрока подаются векторы  $z^1(\tau_k)$ , формирующиеся при помощи датчика случайных чисел так же, как и в случае в). Была просчитана серия из 100 движений. Для всех движений этой серии  $1.67 \leq f^1(y^1(b)) \leq 1.76$ . Среднее значение платы равно 1.72. Эти результаты подтверждают устойчивость стратегии  $V_0$ .

d). В этом эксперименте демонстрируется эффект коррекции при применении стратегии  $V_0$ , когда первый игрок действует неоптимально, используя стратегию  $\tilde{U}$ . Было взято  $\Delta = 0.04$ ,  $\mathcal{L} = 0.12$ . В схему управления второго игрока подавались векторы  $z^1(\tau_k)$ , формирующиеся при помощи датчика случайных чисел. Было просчитано одно движение. Значение платы  $f^1(y^1(b))$  для него равно 4.14.

На рис. 15 представлены фазовые траектории трех движений. Полагалось  $\Delta = 0.04$ ,  $\mathcal{L} = 0.12$ . Для всех движений использовались одни и те же реализации с датчика случайных чисел. Первая траектория взята из эксперимента в), вторая и третья - из экспериментов с) и d) соответственно. Траектории изобра-

5756-85

57.56-85

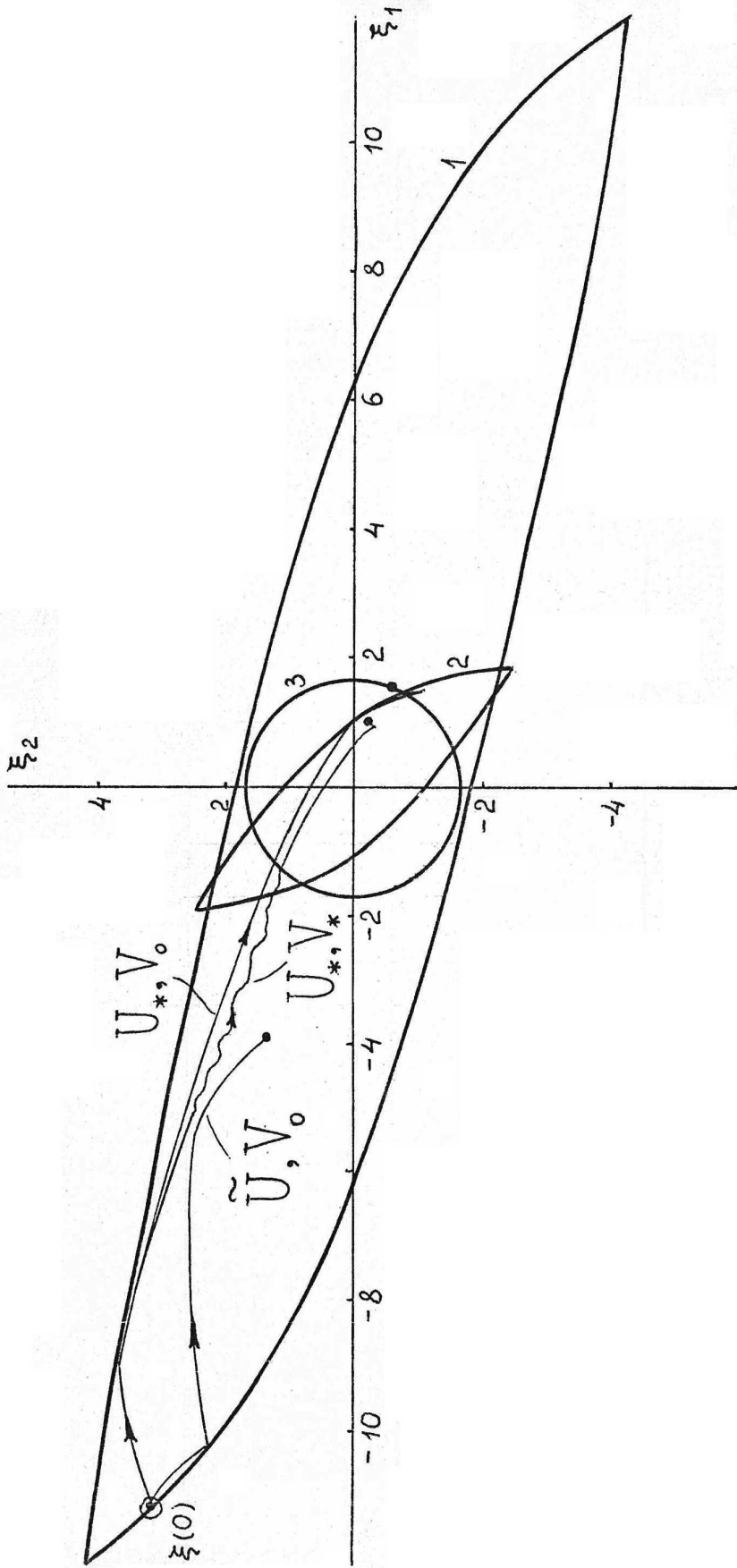


Рис. 15

жены в координатах  $\xi_1, \xi_2$  системы (8.1). Напомним, что координаты  $\xi, \psi$  связаны соотношением  $\psi = X(6-t)\xi$ , зависящим от  $t$ . На рис.15 для моментов  $t = 0,5$  показаны множества  $W_{1.7}(t) = X^{-1}(6-t)W_{1.7}(t)$  - численно построенные сечения множества уровня  $\Gamma(t, \xi) \leq 1.7$  функции цены в игре (8.1) или, что то же самое, сечения максимального  $u$  - стабильного моста в игре (8.1), обрывающегося в момент  $\psi = 6$  на множестве  $\{\xi \in R^2: \gamma(\xi) \leq 1.7\} = \{\xi \in R^2: |\xi| \leq 1.7\}$ . Сечения обозначены цифрами 1 и 2 соответственно. Цифрой 3 обозначен круг радиуса 1.7.

Пример 2. Рассмотрим дифференциальную игру из работы [7]. Динамика игры описывается векторным уравнением

$$\dot{\xi} = A\xi + Bu + Cv, \quad \xi \in R^7 \quad (8.3)$$

$$A = \begin{pmatrix} 0 & I & 0 & 0 & 0 & 0 & 0 \\ 0 & -0.0762 & -5.34 & 0 & 9.8I & 0 & 0 \\ 0 & 0 & 0 & I & 0 & 0 & 0 \\ 0 & -0.0056 & -0.392 & -0.0889 & -0.0378 & -0.17 & 0.0378 \\ 0 & 0 & 0 & 0 & -I & 0 & -I \\ 0 & -0.0129 & -0.9016 & -0.2045 & -0.0869 & -0.89 & 0.0869 \\ 0 & 0 & 0 & 0 & 0 & 0 & -I \end{pmatrix}$$

$$B = (0, 0, 0, 0, 0, 0, I)'$$

$$C = (0, 0.0762, 0, 0.0056, 0, 0.0129, 0)'$$

$$|u| \leq \mu(t) = 0.2613 - 0.0116t, \quad |v| \leq \nu = 10, \quad T = [0, 15]$$

Первая координата  $\xi_1$  фазового вектора  $\xi$  имеет смысл бокового отклонения центра масс самолета от оси взлетно-посадочной полосы, вторая координата  $\xi_2$  - скорость отклонения.

58-2575

Размерности - м и м/сек. Управляющее воздействие  $u$  - "заданный" угол крена (рад), помеха  $v$  - боковая составляющая скорости ветра (м/сек). Цель первого игрока - минимизация значений функции платы  $J$  в момент окончания  $T = 15$  сек, интересы второго игрока противоположны. Функция  $J$  зависит только от первых двух координат фазового вектора и описывается формулой  $J(\xi_1, \xi_2) = \min \{c \geq 0 : (\xi_1, \xi_2) \in cM\}$ , где

$$M = \{(\xi_1, \xi_2) : \frac{\xi_1^2}{216} - \frac{2\xi_1}{9} - \frac{3}{2} \leq \xi_2 \leq -\frac{\xi_1^2}{216} - \frac{2\xi_1}{9} + \frac{3}{2}\}$$

Пусть  $X_{1,2}(15-t)$  - матрица из первых двух строк фундаментальной матрицы Коши  $\exp A(15-t)$ . При помощи замены  $y(t) = X_{1,2}(15-t)\xi(t)$  игра (8.3) сводится к эквивалентной игре

$$\dot{y} = B^1(t)u + C^1(t)v \quad (8.4)$$

$$B^1(t) = \mu(t)X_{1,2}(15-t)B, \quad C^1(t) = X_{1,2}(15-t)C$$

$$|u| \leq 1, \quad |v| \leq 1, \quad J^1 = J, \quad T = [0, 15].$$

Определим аппроксимирующую игру. Положим

$$\varepsilon = 0.05; \quad t_e = 0.05e, \quad e = \overline{0, 300};$$

$$B^2(t) = B^1(t_e), \quad C^2(t) = C^1(t_e), \quad t \in [t_e, t_{e+1}).$$

Обозначим через  $M^2$  выпуклый 200-угольник, вписанный в  $M$ . Пусть  $J^2(x) = \min \{c \geq 0 : x \in cM^2\}$ ,  $x \in R^2$ .

Зафиксируем конечный набор  $c_m = 0.7 + 0.1m$ ,  $m = \overline{0, 20}$ ,

58-2545



значений параметра  $c$ . Пусть  $U_*$ ,  $V_*$  - стратегии в игре (8.4), опирающиеся на поверхности переключения,  $V_0$  - стратегия с коррекцией второго игрока. Помимо стратегии  $U_*$ , за первого игрока будет использована комбинированная [7] стратегия  $U_*^\lambda$ , значения  $U_*^\lambda(t_e, x)$  которой совпадают с  $U_*(t_e, x)$  вне круга радиуса  $\lambda$  с центром в начале координат. В круге радиуса  $\lambda$  значение  $U_*^\lambda(t_e, x)$  выбирается по "линейному" закону, формула которого приведена в [7]. В целом стратегия  $U_*^\lambda$ , в отличие от  $U_*$ , не является оптимальной.

Шаг дискретной схемы управления первого игрока во всех экспериментах равен 0.05. Управление первого игрока вырабатывается на основе точной информации о состоянии системы.

58-9545

Зафиксируем в системе (8.3) начальную позицию  $t_* = 0$ ,  $\xi(t_*) = (95, 0, 0, 0, 0, 0, 0)$ . В игре (8.4) ей соответствует позиция  $t_* = 0$ ,  $y(t_*) = X_{1,2}(15 - t_*) \xi(t_*)$ . Точка  $y^1(t_*) = y^1(0)$  принадлежит границе многоугольника  $W_{1.6}(0)$ . Следовательно, цена  $\Gamma^2(t_*, y^1(t_*))$  аппроксимирующей игры равна 1.60. Примерно этому же числу равна цена игр (8.3), (8.4) в начальной позиции. Начальный вектор  $l_*$  для стратегии  $V_0$  выберем как вектор внешней нормали к многоугольнику  $W_{1.6}(0)$  в точке  $y^1(0)$ .

В табл.2 приведены значения платы на движениях, отвечающих различным способам управления. Первый столбец соответствует случаю, когда управление второго игрока вырабатывается на основе точной информации о состоянии системы. Во втором и третьем столбцах указаны результаты, когда управление строится на основе "замеров" так, как это описано в первом примере. При этом во всех вариантах использовались одни и те же

реализации  $\{\beta_1(\tau_k)\}$  ,  $\{\beta_2(\tau_k)\}$  с датчика случайных чисел.

На рис. I6-I8 показаны реализации управления второго игрока вдоль движений, соответствующих первой строке таблицы. При использовании вторым игроком стратегии  $V_*$  и наличии ошибки "замера" возникает скользящий режим по поверхности переключения (рис. I7).

Как в первом, так и во втором примерах параметр  $\mu$  , участвующий в задании стратегии  $V_0$  , полагался равным  $0.01$  .

5756-85

	$V_{*, \Delta=0.05}$	$V_{*, \Delta=0,2}^{l=2}$	$V_o, \Delta=0.2^{l=2}$
$U_*$	1.60	1.02	1.58
$U_*^{10}$	1.70	1.30	1.71
$U_*^{15}$	1.82	1.42	1.71
$U_*^{25}$	2.01	1.67	2.03

ТАБЛ. 2

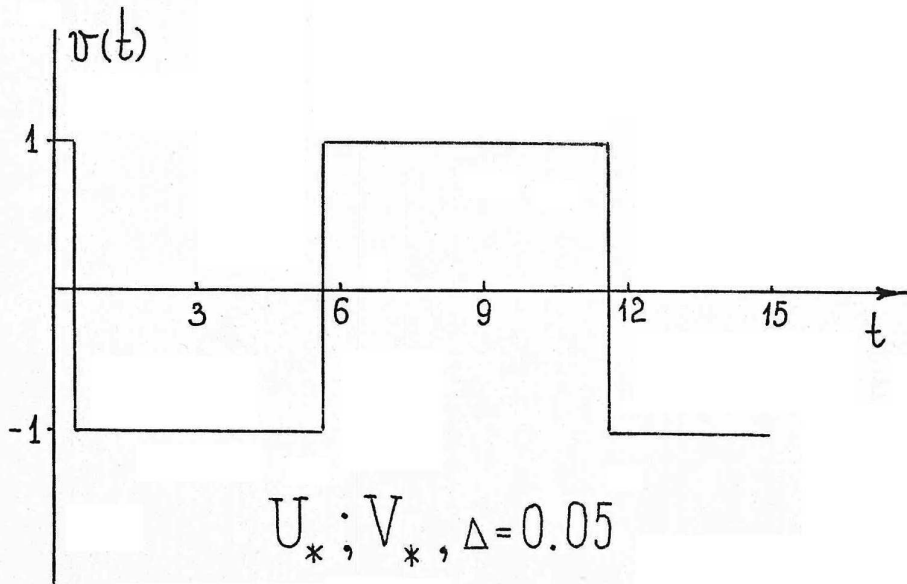


Рис. 16

58-9575

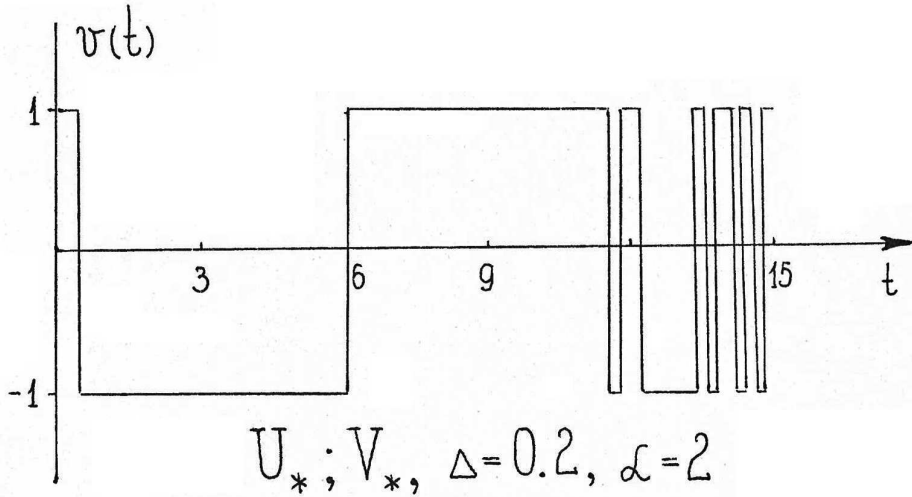


Рис. 17

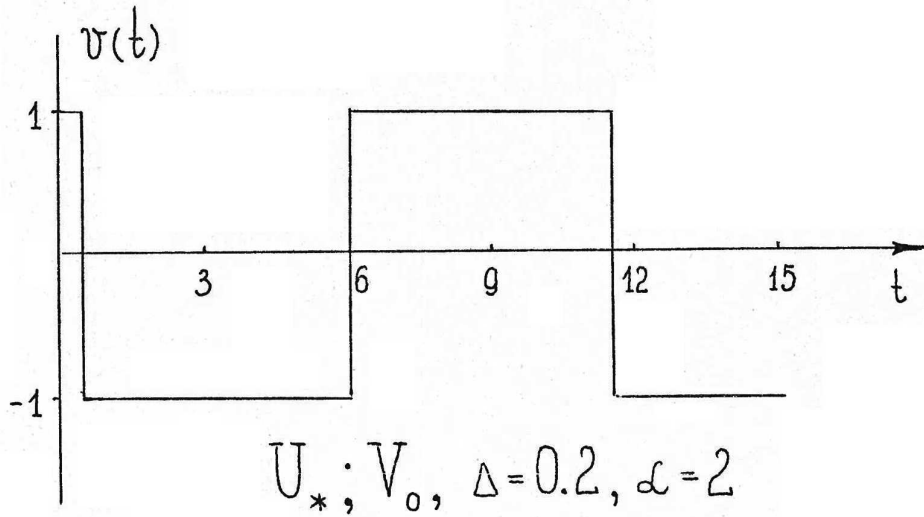


Рис. 18

5756-85

Л И Т Е Р А Т У Р А

1. Красовский Н.Н., Субботин А.И. Позиционные дифференциальные игры. М.: Наука, 1974, 456 с.
2. Алгоритмы и программы решения линейных дифференциальных игр (материалы по математическому обеспечению ЭВМ). - Свердловск: АН СССР, УНЦ, ИММ, 1984, 295 с.
3. Боткин Н.Д., Пацко В.С. Универсальная стратегия в дифференциальной игре с фиксированным моментом окончания. - Пробл. управления и теории информ., 1982, т. II, № 6, с. 419-432.
4. Боткин Н.Д., Пацко В.С. Позиционное управление в линейной дифференциальной игре. - Изв. АН СССР, Техн. кибернетика, 1983, № 4, с. 78-85.
5. Субботин А.И., Ченцов А.Г. Оптимизация гарантии в задачах управления. М.: Наука, 1981. 287 с.
6. Красовский Н.Н. Игровые задачи о встрече движений. М.: Наука, 1970. 420 с.
7. Боткин Н.Д., Кейн В.М., Пацко В.С. Модельная задача об управлении боковым движением самолета на посадке. - Прикл. матем. и механ., 1984, т. 48, № 4, с. 560-567.
8. Полищук Е.Г. Оценка отклонения цены линейной дифференциальной игры от последовательного программного максимина. - Изв. АН СССР. Техн. кибернетика, 1980, № 6, с. 195-198.

5756-85

5756-85

Печатается в соответствии с решением Ученого Совета  
Института математики и механики УНЦ АН СССР от 20 июня 1985 г.

печать от 10.7.85.

лр.1

Цена 8-50

Зак. 32792

Производственно-издательский комбинат ВИНТИ  
Люберцы, Октябрьский пр., 403

